

ce CN

CCCN

Badger R.M., Wyo S.

1931

J. Amer. Chem. Soc., 1931, 53, 2572-7

УФ-спектр.

(20)

CNCL, CNBr, BD-8454-IV | 1931

CNY

Mooney R.B.;
Reid H.G.

(2)

Nature 1931, 128,
271-2

CCCN West W., Farnsworth M. L 1933

Raman-
spectrum
mugow
cicn

J. Chem. Phys. 1933, 1, 402.

397, 729 & 2201 cm⁻¹ novac. otkaat
K OCH. racemomax.

OCW
BrCN
ICN

Beach J. F., Turkevich A. [1939]
J. Amer. Chem. Soc.,
1939, 61, 299 - 303

$$\chi_{C-\alpha} = 1.67 \pm 0.02 \text{ A}^2$$

$$\chi_{CEN} = 1.13 \pm 0.03 \text{ A}^2$$

Фотография
изображения

CCCN

Wagner J.

1941

Z. phys. Chem., 1941, 48B, 339

Raman-
spectrum

zuckerose orzeccinae

PCN

Raman
spectrum

Wagner J.

1943

Z. phys. Chem., 1943, 193A, 55.

Macrocyclic Diimides

1947

5117

D(C₂N₂, HCN, ClCN, BrCN, JCN)

Goldfinger P.

Bull. soc. chim. Belges 1947, 56, 282-90

The dissociation energies of ...

H₂J

CNCl

1958

BrCN, ClCN, OCS (ω , γ_{C-N} , γ_{Br-C} , γ_{Cl-C})¹⁹⁴⁷

Townes C.H., Holden A.N., Merrit F.R.

Phys. Rev. 1947, 71, 64

"Rotational spectra of some ...

CNCl

J

1547

OCS, ClCN, BrCN (by analogy with...) 1948

Rogers J.D., Williams D.

Phys. Rev., 1948, 74, 1889

Microwave spectra of the ...

CCN

CA., 1950, 44, 62691

10

1948

χ_e

Smith, A. G., Ring, K., Smith, W. V., Gordy, W.

CECN

Phys. Rev. 1948, 74, 370

Mesoporous pacimicrone

CECN, BrCN, FCN

$$\chi_{C-\alpha} = 1,630 \text{ \AA}^\circ$$

$$\chi_{C=N} = 1,163 \text{ \AA}^\circ$$

CCN Townes C.H., Hohen A.H.,
Merritt F.R.

1948

Physical Review, 1948, 74, 1113

Multiplication factor of appearance

$$\kappa(C-\alpha) = 1,629 \text{ \AA}^2$$

$$\kappa(C=N) = 1,163 \text{ \AA}^2$$

$$^{35}\text{Cl}^{12}\text{C}^{14}\text{N} \quad B_{000} = 5970,82 \pm 0,02 \text{ mc/sec}$$

$$^{37}\text{Cl}^{12}\text{C}^{14}\text{N} \quad B_{000} = 5847,258 \pm 0,014 \text{ mc/sec}$$

CCCN

Nixon S.R., Gross P.C.

1950

J. Chem. Phys., 1950, 18, n/a, 1316-19

alk-champ
2000

Полосы ν_1' , ν_3' , ν_2'' , $\nu_3 + \nu_2'$, $\nu_3 + \nu_1$, $\nu_3 + 2\nu_2''$ макс
 $\nu_1 = 714 \text{ см}^{-1}$; $\nu_3 = 2214 \text{ см}^{-1}$, ν_2'' обнаружен в
макс. конс. в полосе 390 см^{-1} .

C₂N

W.S. Richardson, E.B. Wilson

1950

Wagging

Twisting

Wagging

J. Ch. Ph. 12, 155 - 156

U.V. spectra of C₂C¹³N and C₂C¹⁵N.

2-16 μ.

Observed	Vibration	CC≡N	CC≡C ¹³ N	CC≡C ¹⁵ N
v ₁ C≡C		3111	3114	208
v ₂		—	—	—
v ₃ C≡N		2213	2212	2154
2v ₂		323	—	2155

"v₂ = 392 cm⁻¹ He: N formic acid D₂O.

$$S = \sqrt{f_1^2 c_1^2 + f_2^2 c_2^2 + 2 f_1 f_2 c_1 c_2}$$

Скорость разр. 310⁵ см/сек.

	u ₁ CCl ₄	u ₂ CCl ₄	exp. u
f ₁ (C-C)	4,921	4,926	4,928
f ₂ (C-N)	17.03	17.00	17.01

$$f_{12} = 1.10^5 \text{ см/сек} - \text{Быстро израсход.}$$

IV-1649-BP

1950

ClCN (D)

Stevenson D.P.

J.Chem.Phys., 1950, 18, 1347-51

Jonizytion and dissociation by
electron impact: cynogen, hydrogen
cyanide, and cyanogen chloride and
the dissociation energy of cyanogen

CN Ce

C.A., 1951, 944b

MW

M; 10

temp gr.kop

CCCV

Thomas W. J.

1951

J. Chem. Phys. 19, 1162

Гармоническое колебание
многих молекул
молекул.

приводимое самими, синх.
постоян и изменяющее
расстояние.

Bewy. II 147

CCCN.

Hornig D.F. Mekcan D.C. 1955
J. Phys. Chem. 59, 1193

'Bond Moment and Molecular
Structure. 2 K

CCCV 1,163 16.9-18.2.

ccn CH₄

CCCN

1955

White R. Z.

Rev. Mod. Phys., 27,
276-88.

Сверхтонкое машинальное
окр.-ра, связанные с нали-
чием спинорального углого
момента $\mu_{\alpha - \beta}$ в
 $^1\Sigma$ -составляющей.



1955

СССР

Найдомский А. Е.

Успехи химии 1955, 24, 730

Радиоспектроскопия и
строение ядра скелета (обзор;
около 130 ссылок) изложена
данное две главы: спектр
и механизмы. расстояние

авт CO

CCN

Burros C.A., Gordig W.

1956

Phys. Rev., 1956, 101, n2, 599 - 602

$$^{35}_{\text{Cl}} {}^{12}_{\text{C}} {}^{14}_{\text{N}} \left\{ \begin{array}{l} B_{000} = 5940,83_1 \text{ mc/sec} \\ D_{000} = 7,66_3 \cdot 10^{-3} \text{ mc/sec.} \end{array} \right.$$

$$^{37}_{\text{Cl}} {}^{12}_{\text{C}} {}^{14}_{\text{N}} \left\{ \begin{array}{l} B_{000} = 5847,24_3 \text{ mc/sec} \\ D_{000} = 7,60_8 \cdot 10^{-3} \text{ mc/sec} \end{array} \right.$$

CEN
BCH

W.D. Freitag., E.R. Nixon.

1956

U.K. supp. J. Chem. Phys. 21, No 1, 103-14.

U.K. supp. Zayad P. u
Khus. CEN u BCH.

CCN

L. Yarmus

1957

Phys. Rev. 105, 1, 928.

Direct E-type doubling transitions in $\text{^{11}Be}$.

$$q_1 = 7,467,467 - 1,327 \cdot 10^5 \gamma (\gamma + 1).$$

A.S.C. zkar. nařadějte a vymějte

$$b_1 = 0,0101 \pm 0,0004.$$

1959

CCN

Moses W.H., Orville-Thomas W.H.
Opik U.

J. Chem. Soc. 1959, 1625-7

Cresolene was measured in
isopropenyl acetone precipitate
by OCS, CCN u. BrCN

(u. OCS) III



1544
OCS, ClCN, BrCN (сил.пост.)

1959

Orville-Thomas W.J., Opik U.,

J.Chem.Soc., 1959, Apr., 1625-1627

Силовые постоянные и центробежное

• • •

РХ., 1960, N 23, 91279

CNce

CNcl

B92-1910-IV | 1960

(J.A.P)

Herron J.T., Dibeler V.H.

" J. Amer. Chem. Soc., 1960,
82, N^o 7, 1555-59.

Nygr. metodom Dr. Zgusta..,

CCCN

Nagarajan G.

1963

Indian J. Pure

Vol. 13 No. 1

and Appl. Phys., 1963,

1, n 9, 324.-27

Repr. - 8.4.99 - 1

(See FCN) II

1963

ACCN

Tyler J. K., Sheridan J.

Литер.

Смешр.

Trans. Faraday Soc., 1963, 59,
N12, 2661.-2670

Исследование структуры
 некоторых новых методов
 горячей ионизационной селек-
 ции газообразных сме-
 сей.

ф. 1964. № 156

СЕСН

Nagarajan et.

1969

Среднее
аварии-
макс

J. chim. phys. et phys.-
chim. biol., 61, № 3, 338-42

1971-1978-1985-1990

Среднее аварийное и
переходное физико-химиче-
ское изучение.

(см. СЕСН, Термод. физ.)

CLCN

B9-M950-V | 1965

(cur. no. 5)

Fadolini A.

"Z. angew. Math. und
"Mech.", 1965, 45, Sonderh.,
T.29-T31

Cl CN

1965

5 Д299. Инфракрасный и микроволновой спектр CICN. Lafferty Walter J., Lide David R., Toth Robert A. Infrared and microwave spectra of CICN. «J. Chem. Phys.», 1965, 43, № 6, 2063—2070 (англ.)

ИК- и
микроволни
спектр

Сентябрь 1986

Исследованы низшие J -переходы микроволн. спектров $^{35}\text{CICN}$ и $^{37}\text{CICN}$ в состояниях $v_2^1, 2v_2^0, v_1, 2v_2^2$. Найдено, что между уровнями v_1 и $2v_2^0$ существует острый ферми-резонанс. Δ - и Σ -уровни состояния $2v_2$ расщеплены за счет l -резонанса. Полученные значения вращательных постоянных и постоянных квадрупольного расщепления совпадают с литературными данными. Получен ИК-спектр CICN (1710 — 3300 см^{-1}) на приборе высокой разрешающей способности. Исследованы парал. полосы $v_3, v_1 + v_3, v_3 + 2v_2^0$ и перпендикулярная полоса $v_3 + v_2^1$ у обеих изотопич. молекул. Получены значения колебательных и вращательных постоянных, констант ан-

ДМДГ

д. 1966. 58

гармоничности и моментов инерции для изотопич. молекул. Приведены диаграммы энергетич. уровней для $v_3 + v_1$, $v_3 + 2v_2^0$ и $v_3 + 2v_2^2$. Рассчитаны равновесные r_e properties и средние $\langle r \rangle$ межатомные расстояния для 8 изотопич. молекул. Наиболее надежные значения $\langle r_{\text{ClC}} \rangle = 1,631 \text{ \AA}$ и $\langle r_{\text{CN}} \rangle = 1,162 \text{ \AA}$. Значения r_e для обеих связей несколько меньше средних; с учетом ошибок определения $\langle r \rangle - r_e < 0,010 \text{ \AA}$. Библ. 21 назв.

Э. Броун

1965

ClCN

W.L. et al b.

checked

Infrared and microwave spectra of ClCN. Walter J. Lafferty, David R. Lide, Jr., and Robert A. Toth (Natl. Bur. of Stds., Washington, D.C.). *J. Chem. Phys.* 43(6), 2063-70 (1965)(Eng). The microwave spectra of $^{35}\text{Cl}^{12}\text{C}^{14}\text{N}$ and $^{37}\text{Cl}^{12}\text{C}^{14}\text{N}$ have been obtained for mols. in the vibrational states ν_1 , $2\nu_2^0$, and $2\nu_2^1$. In addn., high-resolution infrared spectra have been obtained for the bands $\nu_1, \nu_2^1 + \nu_3, \nu_1 + \nu_3$, and $2\nu_2^0 + \nu_3$. Estimates for the frequencies of ν_1 and ν_2^1 have been made, and equil. and av. bond distances have been calcd.

RCJQ

C.A. - 1965. 63.8
9283 ef

Entered 11/86

CB CN

Venkateswarlu K., vlor - 1565.
Rizam S., Rajalakshmi K.

n.n.

Bull. cl. sci. Acad. roy. Belg.,

51, N 3, 359-370.

Среднее арифметич. колеба-
ние, средняя корреляция и
коэффициент корреляции сб-ва:
среднее значение в моде

XYZ.

SPC-A-580
B.D.-A

CCCN

130-N946-~~1~~ | 1966

BZCN

Fadini A.

(citt. no. 5)

Z. Naturforsch., 1966,
921(4), 484-5

CCCN

Freed R. F.

1966

Lombardi J. R.

Z. Chem. Phys., 45, no. 591.

Hydrogen bromide in
catalytic 3-x-anisole
molecules.

(See. *Pacem*
et. al.)

Cl CN

1986

17 Б154. Ультрафиолетовый спектр поглощения галогенидов циана. I. Отождествление и корреляция.
King G. W., Richardson A. W. The ultraviolet absorption of cyanogen halides. Part I. Identification and correlation. «J. Molec. Spectrosc.», 1966, 21, № 4, 339—352 (англ.).

Изучен спектр поглощения молекул ClCN , BrCN и JCN в области выше 1250 Å. Структура спектров всех этих молекул одинакова. Отмечено смещение полос в сторону длинных волн в порядке $\text{J} > \text{Br} > \text{Cl}$. Слабое сплошное поглощение в области 2600—1800 Å (A -система) приписано переходу $A'\pi \leftarrow X'\Sigma^+$, второе слабое сплошное поглощение (α -система) при более коротких длинах волн отнесено к переходу на верхнее состояние молекулы π ($\pi \rightarrow \sigma^*$) или состояние 1A или ${}^1A''$ ($\pi \rightarrow \pi^*$). Интенсивное дискретное поглощение в области 1700—1300 Å состоит из систем B и C , относящихся к переходу $\pi \rightarrow (n+1)s\sigma$. Кроме того, наблюдаются полосы, представляющие собой переходы на более высокие орбиты $r\sigma$ и $r\pi$.

А. Беляева

X. 1987. 17

(4)

ClCN

1966

42003w The ultraviolet absorption of cyanogen halides. I. Identification and correlation. G. W. King and A. W. Richardson (McMaster Univ., Hamilton, Can.). *J. Mol. Spectrosc.* **21**, 339-52(1966)(Eng). The absorption spectra of the 3 cyanogen halides ClCN, BrCN, and ICN, have been examd. under high resolution down to 1250 Å. Apart from shifts to longer wavelengths in the order I > Br > Cl, the spectra of the 3 mols. have basically similar structure, and can be analyzed as follows: (1) weak continuous absorption in the 2600-1800 Å. region (the *A* system) resulting from an $A^1\Pi \rightarrow X^1\Sigma^+$ transition, the upper state being formed by a $\pi \rightarrow \sigma^*$ electron promotion localized on the halogen atom; (2) a 2nd weak continuous absorption at shorter wavelengths (the α system), resulting from transition to either a 2nd $^1\Pi$ state ($\pi \rightarrow \sigma^*$) or a bent state of $^1A'$ or $^1A''$ symmetry ($\pi \rightarrow \pi^*$); (3) intense discrete absorption in the 1700-1300 Å. region, contg. the *B* and *C* systems which are the 1st members of Rydberg series obtained by $\pi \rightarrow (n + 1)s\sigma$ promotion of a halogen-localized electron; and (4) Rydberg bands involving transitions to higher $p\sigma$ and $p\pi$ orbitals. 33 references.

+2

RCKP

C.A. 1967. 66. 10

1966

ClCN

42004x The ultraviolet absorption of cyanogen halides. II. Analysis of the B and C systems. G. W. King and A. W. Richardson (McMaster Univ., Hamilton, Can.). *J. Mol. Spectrosc.* 21, 353-61(1966)(Eng); cf. preceding abstr. The discrete band structures of the B and C vacuum uv absorption systems of the cyanogen halides have been analyzed and Franck-Condon calcns. used to det. excited state geometries. The mols. remain linear on excitation. For ICN/BrCN/CICN, the electronic origins are at 58 887/66 290/73 331 (B system) and 63 471/68 278/74 468 cm.⁻¹ (C system). Upper-state vibrational frequencies are: $\nu_1(\sigma^+)$ = 547/(700)/648 (B) and 526/(700)/641 cm.⁻¹ (C); $\nu_3(\sigma^+)$ = 2058/(2000)/1896 (B) and 1953/1926/1840 cm.⁻¹ (C). Upper-state bond lengths are: $r(XC)$ = 1.94₃/1.7₂/1.65₄ (B) and 1.91₁/1.70₃/1.64₄ A. (C); $r(CN)$ = 1.16₉/1.1₆/1.21₀ (B) and 1.18₃, 1.18₅/1.21₃ A. (C). Less certainty can be attached to the bond lengths given for CICN, which behaves anomalously. Apart from this, the results are consistent with a Rydberg transition involving $\pi \rightarrow \sigma_x$ electronic promotion.

RCKP

+2

C.A. 1967 · 66 · 10

B₂CN

(Дублир.
издания.)

и.и.

• V_i

22 Б88. Ультрафиолетовые спектры поглощения галогенидов циана. Часть II. Анализ систем *B* и *C*
King G. W., Richardson A. W. The ultraviolet absorption of cyanogen halides. Part II. Analysis of the B and C systems. «J. Molec. Spectrosc.», 1966, 21, № 4, 353—361 (англ.)

Дан колебательный анализ полос УФ-поглощения галогенидов циана, принадлежащих системам *B* и *C*. Показано, что молекулы остаются линейными в возбужденном состоянии. Получены колебательные частоты этих молекул для верхнего электронного состояния. Они оказались равными для молекул JCN, BrCN, CICN соответственно: $v_1(\sigma^+) = 547, (700), 648 \text{ см}^{-1}$ (для *B*-системы) и $526, (700), 641 \text{ см}^{-1}$ (для *C* системы); $v_3(\sigma^+) = 2058, (2000), 1896 \text{ см}^{-1}$ (для *B*) и $1953, 1926, 1840 \text{ см}^{-1}$ (для *C*). Приведены длины связей *JC* и *CN* этих молекул в возбужденном электронном состоянии для *B* и *C* систем. Часть I см. РЖХим, 1967, 17Б154. А. Беляева

X · 1967 · 22



JCN

1966

22 Б88. Ультрафиолетовые спектры поглощения галогенидов циана. Часть II. Анализ систем *B* и *C*.
King G. W., Richardson A. W. The ultraviolet absorption of cyanogen halides. Part II. Analysis of the *B* and *C* systems. «J. Molec. Spectrosc.», 1966, 21, № 4, 353—361 (англ.)

Дан колебательный анализ полос УФ-поглощения галогенидов циана, принадлежащих системам *B* и *C*. Показано, что молекулы остаются линейными в возбужденном состоянии. Получены колебательные частоты этих молекул для верхнего электронного состояния. Они оказались равными для молекул JCN, BrCN, ClCN соответственно: $v_1(\sigma^+) = 547, (700), 648 \text{ см}^{-1}$ (для *B*-системы) и $526, (700), 641 \text{ см}^{-1}$ (для *C* системы); $v_3(\sigma^+) = 2058, (2000), 1896 \text{ см}^{-1}$ (для *B*) и $11953, 1926, 1840 \text{ см}^{-1}$ (для *C*). Приведены длины связей JC и CN этих молекул в возбужденном электронном состоянии для *B* и *C* систем. Часть I см. РЖХим, 1967, 17Б154. А. Беляева

X · 1967 · 22

CCCN

King G. W., Richard -
son A. W.

1907

Proc. Int. Conf. Spectrosc.,
Bombay, V. I. S.I., S.A., 222'

Ригдерговские и суд-риг-
Дерговские соревнования
и комо-  ях спортив.
насение  Кингов
(см. ICN) III

CLNC

Milligan D.E.,
Yacov M.E.

1967

307

1188

спектр

J. Chem. Phys.
47, N1, 278

Спектроскопическое изучение
дисперсии HCN и радио-
изотопов, помешанных
в матрице. ИК-спектр
CN и XNC. (см. XNC) III

CCCN

Milligan D.E.
Jacobs M.E.

1967
1188
307

(Bi)

"J. Chem. Phys"

1967, 47, N1, 278-85

1967

CCCN

Purcell K. F.

J. Amer. Chem. Soc., 89, nr 24,
6139.

Диффузия б и Ti-атомов в
координатных цепях кристаллов -
но.

(ccn. RCN) III

CCCN

Reichman S.,
Overend J.

1967

J. Chem. Phys., 47, n 4, 1525

Важность квадратичных симметрических полиномов для расчета формир-резонанса.

(ан. CO_2)

ceCN

Goshikine M.
McLean A.D.

1967

80

Int. Y. Quantum. Chem.,
Symp. 1967 (N1)

(coll. LiF) III

CLCN

Williams E. J.,
Ladd Y. A.

1968

cur. no. m.

y. Mol. Street.

2, N1, 57-66

Следующее постановление о
исследовании материалов
для налога.



(Cur. FCN) III

1969

CCCN

King Ch. M., upr.

Diss. Abstr. B 1969,
29, n8, 2828

ИК-спектр
бумажной

(Ces. HCN) II

CCCN

1969

hojko N.S.,
Beers L.

Sp. noem.

y. Res. Nat. Bur. Stand.,

143, N 2, 233.



(Cer. H₂O) III

1969

XIV - 1336

CCN

7 Б73. Спектроскопическое изучение колебательных постоянных и статистических термодинамических функций некоторых изотопических модификаций цианогенхлорида. Nagagajan G., De Villiers Silvia J. Estudios espectroscópicos de constantes de vibración y de funciones de termodinámica estadística en algunas especies isótopas del cloruro de cianógeno. «Acta cient. venezol.», 1969, 20, № 1—2, 52—57 (исп.; рез. англ.)

По опытным значениям частот валентных и деформационных колебаний молекул $^{35}\text{Cl}^{12}\text{C}^{14}\text{N}$, $^{37}\text{Cl}^{12}\text{C}^{14}\text{N}$, $^{35}\text{Cl}^{12}\text{C}^{15}\text{N}$ и $^{37}\text{Cl}^{12}\text{C}^{15}\text{N}$ определены 4 силовые постоянные (10^5 дин·см $^{-1}$): Cl—C 4,8128; C—N 18,6232; Cl—C, C—N 11,3486; $\langle \text{ClCN} \rangle$ 0,1805. Вычислены средние квадратичные амплитуды колебаний, обобщенные (па-

+1

X · 1970 · 7

раллельные и перпендикулярные) средние квадратичные амплитуды колебаний и средние амплитуды колебаний для связей Cl—C, C—N и расстояний Cl—N при т-рах 298, 500 и 1000° К. Для этих же т-р вычислены эффекты сокращения Бастиансена — Морио. В интервале т-р 200—2000° К вычислены термодинамические функции всех 4 молекул. Приводятся численные значения их моментов инерции.

М. А. Ковнер

ClCN

J.

ap-pa

C.A. 1970. 72.R

XIV - 1336

1969

60962m Spectroscopic studies of vibrational constants and statistical thermodynamic functions in some isotopic species of cyanogen chloride. Nagarajan, G.; DeVilliers, Silvia J. (Dep. Fis., Allen Univ., Columbia, S.C.). *Acta Cient. Venez.* 1969, 20(1-2), 52-7 (Span). On the basis of theoretical group considerations, 4 valence force consts. have been calcd. from the fundamental frequencies of the isotopic species $^{35}\text{Cl}^{12}\text{C}^{14}\text{N}$, $^{37}\text{Cl}^{12}\text{C}^{14}\text{N}$, $^{35}\text{Cl}^{12}\text{C}^{15}\text{N}$ and $^{37}\text{Cl}^{12}\text{C}^{15}\text{N}$, having a linear asym. structure with the symmetry point group $C_{\infty v}$. Mean-square and generalized mean-square amplitude values (mean-square parallel and perpendicular amplitudes, and mean cross products) as well as mean amplitudes of vibration for both the bonded and non-bonded atom pairs have been calcd. at 298, 500 and 1000°K by using symmetry coordinates. Shrinkages of the respective chem. bonds have been computed for the mol. at the same temps. In addn., the molar thermodynamic functions for the 4 isotopic species have been calcd. for the temp. range 200-2000°K assuming a rigid rotator, as an harmonic oscillator model.

R. Radicella

1969

CCCN

Saxena N.K.

paper

Indian. J. Pure and

Appl. Phys., 1969, 7, n12,

828

(Cv. YCr) \bar{m}

CCCN

Thomas G. et al.

1969

card. n

J. Molec. Struct.,
4(2-4), 179.

(Coll. HCN) III

CCCN

B9 - 99 - XIX

1970

136615W Potential energy constants, mean amplitudes of vibration, Bastiansen-Morino shrinkage effect, and thermodynamic functions in some isotopic species of cyanogen chloride. Durig, James R.; Nagarajan, Govindaswamy (Dep. of Chem., Univ. of South Carolina, Columbia, S.C.). *Monatsh. Chem.* 1970, 101(2), 437-48 (Ger). Valence force consts. of the isotopic species ($^{35,37}\text{Cl}$, $^{14,15}\text{N}$, ^{12}C) of CICN (linear asym. mol., space group $C_{\infty v}$) were detd. from the fundamental frequencies ν_1 and ν_2 of the corresponding species by using a group-theory method. Mean-square amplitude quantities and Bastiansen Morino shrinkage coeffs. were computed at 298, 500, and 1000°K. Enthalpy, free energy, entropy, and heat capacity were calcd. at 200-2000°K for each isotopic species by assuming a rigid-rotor harmonic oscillator model.

FBJG

C.A. 1970. 72-2B

СЛСН

В92-ХIV-99

1990

10 Д173. Постоянные потенциальной энергии, средние амплитуды колебаний, эффект сокращения Бастиансена—Морино и термодинамические функции некоторых изотопозамещенных хлорциана. Dugg James R., Nagarajan G. Konstanten der potentiellen Energie, mittlere Schwingungsamplituden, Bastiansen-Morino-Schrumpfeffekt und thermodynamische Funktionen einiger isotoper Arten des Chlorcyans. «Monatsh. Chem.», 1970, 101, № 2, 437—448 (нем.; рез. англ.)

Методом теории групп вычислены значения постоянных потенц. энергии колебаний атомов в молекулах 4-изотопозамещенных хлорциана. Вычислены также среднеквадратичные, обобщенные среднеквадратичные и средние амплитуды колебаний для связанных и несвязанных атомов.

09.1990.

102

занных пар атомов. Расчеты проведены для трех значений т-ры: 298, 500 и 1000° К. С использованием модели жесткий ротатор — гармонич. осциллятор проведено вычисление термодинамич. ф-ций для этих изотопозамещенных цианхлоридов в области т-р от 200 до 2000° К. Результаты расчетов приведены в таблицах и кратко обсуждаются.

В. А. Морозов

БФ-99-XIV

1970

ClCN

19 Б46. Константы потенциальной энергии, среднеквадратичные амплитуды колебаний, эффект сокращения Бастиансена — Морино и термодинамические функции некоторых изотопических разновидностей хлорциана. D u - r i g J a m e s R., N a g a g a j a n G. Konstanten der potentiellen Energie, mittlere Schwingungsamplituden, Bastiansen—Morino—Schrumpfeffekt und thermodynamische Funktionen einiger isotoper Arten des Chlorcyans. «Monatsh. Chem.», 1970, 101, № 2, 437—448 (нем.; рез. англ.)

По эксперим. данным о частотах нормальных колебаний четырех изотопозамещенных линейных молекул хлорциана $\text{Cl}^{35}\text{C}^{12}\text{N}^{14}$ (I), $\text{Cl}^{37}\text{C}^{12}\text{N}^{14}$ (II), $\text{Cl}^{35}\text{C}^{12}\text{N}^{15}$ (III) и $\text{Cl}^{37}\text{C}^{12}\text{N}^{15}$ (IV) вычислены четыре силовых коэф. общего

+1 (II)

авт. н.

Ит. н

Тер. исслед. ф.

III

X. 1970.

19

X

валентного силового поля молекулы хлорциана ($f_{Cl-C} = 4,8128$, $f_{C-N} = 18,6232$, $f_{Dd} = 1,3486$ и $f^\Theta = 0,1805 \times 10^5$ дн/см). Вычислены среднеквадратич. амплитуды кол. и эффект сокращения Бастиансена — Морио молекулы хлорциана при 298, 500 и 1000° К. В интервале т-р 200—2000° К вычислены термодинамич. функции ($H_0 - E_0^\circ$)/ T ; $-(f_0 - E_0^\circ)/T$; S° и C_p°) молекул I-IV в приближении гармонич. осциллятора — жесткого ротатора.

СICN

ЗГГ-XIV-120

1970

17 Б242. Абсолютные интенсивности полос поглощения либрационных колебаний кристаллов CICN и BrCN.
Friedrich H., Giese. Absolute absorption intensities of the librational modes of CICN and BrCN.
«J. Chem. Phys.», 1970, 52, № 6, 3005—3011 (англ.)

Измерена суммарная абс. интенсивность B_t двух ИК-активных либрац. колебаний молекул CICN ($\omega_1=93$, $\omega_2=114$) и BrCN ($\omega_1=104$, $\omega_2=121$) в тв. фазе при т-ре 77° К: $B_t = 750 \pm 90$ (CICN) и 800 ± 140 см/мм (BrCN). При помощи модели дипольной связи вычислены частоты и интенсивности полос либрац. колебаний CICN и BrCN. Вычисленные частоты совпадают с опытными. Для B_t получены значения 970 (CICN) и 835 см/мм (BrCN). Из эксперим. значений B_t вычислены дипольные моменты CICN ($2,46 \pm 0,15$ D) и BrCN ($2,88 \pm 0,25$ D) в тв. фазе.

М. Р. Алиев

X. 1970

15



+1

Н

CC CN

XIV-1596

1970

18 Б123. Фотоэлектронные спектры хлор-, бром- и
иод-цианов. Heilbronner E., Horning V., Musz-
k at K. A. Die Photoelektron-Spektren von Chlor-, Brom-
und Jodcyan. Vorläuf. Mitt. «Helv. chim. acta», 1970, 53,
№ 2, 347—351 (нем.; рез. англ.)

В области от 10 до 20 эв измерены фотоэлектронные
спектры хлор-, бром и иод-цианов. Четыре полосы в по-

лученных спектрах отнесены к состояниям: $^2\Pi_{3/2}$ (1),
 $^2\Pi_{1/2}$ (1), $^2\Sigma^+$ (2), $^2\Pi_{3/2}$ (3), $^2\Pi_{1/2}$ (3), $^2\Sigma^+$ (4). Резюме

(+2)

X. 1970. 18

(X)

ClCN

XIV-1596

1970

1162540 Application of photoelectron spectroscopy. 8. Photoelectron spectra of cyanogen chloride, bromide, and iodide. Heilbronner, Edgar; Hornung, V.; Muszkat, K. A. (Phys.-Chem. Inst., Univ. Basel, Basel, Switz.). *Helv. Chim. Acta* 1970, 53(2), 347-51 (Ger). Four bands were obsd. in the photoelectron spectra of ClCN, BrCN, and ICN at 10-20 eV. They were assigned to the $^2\Pi_{3/2}$ (1), $^2\Pi_{1/2}$ (1), $^2\Sigma^+$ (2), $^2\Pi_{3/2}$ (3), $^2\Pi_{1/2}$, and $^2\Sigma^+$ (4) states.

CWJG

photoelectron
spectra

y

C.A.

1970

72.22

CC≡N

(?)

X. 1970.

22 Б189. Фотоэлектронные спектры некоторых молекул, содержащих группу $C \equiv N$. Lake R. F., Thompson Harold. The photoelectron spectra of some molecules containing the $C \equiv N$ group. «Proc. Roy. Soc. London», 1970, A317, № 1529, 187—198 (англ.)

На установке с разрешающей способностью 20 мв зарегистрированы фотоэлектронные спектры в области 6—21 эв молекул типа $RC \equiv N$. Для $R=Cl, Br, I$ спектры содержат 4 группы линий, соотв.-щие ионизации с удалением электрона с MO π_1, π_2, σ_N и σ_{C-X} (X — атом галогена). Произведено отождествление этих групп на основании их колебательной структуры и расщепления, обусловленного спин-орбитальным взаимодействием. Вертикальные потенциалы ионизации (ВПИ) соотв. для $X=Cl, Br, I$ равны (эв): с образованием иона с MO $(\pi_2)^{-1} {}^2P_{3/2}$ и $(\pi_2)^{-1} {}^2P_{1/2}$ 12,34 и 12,37; 11,88 и 12,07; 10,91 и 11,45; иона с MO $(\sigma_N)^{-1}$ 13,80; 13,58, 13,17; иона

22

+7

22

с МО $(\pi_1)^{-1} 2P_{3/2}$ и $2P_{1/2}$ 15,38; 14,4; —; иона с МО $(\sigma_{C-X})^{-1}$ 19,03; 18,07; 16,71. Для случаев R — углеводород измерены величины ВПИ (ε_ν), связанные с удалением π -электрона группы C=C: CH₂=CH 10,91; CH₂=CHCH₂ 10,56; π -электрона группы C≡N: CH₃ 12,20; CD₃ 12,23; C₂H₅ 12,11; CH₂=CH 12,36; CH₂=CHCH₂ 12,13; электрона из неподеленной пары атома N: CH₃ 13,14; CD₃ 13,14; C₂H₅ 12,91; CH₂=CH 13,04; CH₂=CHCH₂ 12,95. Кроме того, обнаружен ряд неидентифицированных линий. Для случаев R=CH₂Cl, CHCl₂ и CCl₃ обнаружен ряд ВПИ, не идентифицированных из-за сложности спектров и отсутствия их колебательной структуры.

Б. Е. Скурат

CNCl

1970

209a > Photoelectron spectra of some molecules containing the C:N group. Lake, R. F.; Thompson, Harold (Phys. Chem. Lab., Univ. Oxford, Oxford, Engl.). *Proc. Roy. Soc., Ser. A* 1970, 317(1529), 187-98 (Eng). The photoelectron spectra of a no. of mols. contg. the C:N group have been measured over the range 6-21 eV. For CNCl, CNBr, and CNI, ionization potentials have been detd. and assigned to particular MO on the basis of the vibrations coupled with the ionization processes, and of the splitting owing to spin-orbit coupling. Differences in these features among the 3 compds. are discussed in terms of the delocalization of electrons in these mols. From the spectra of methyl, ethyl, vinyl and allyl cyanides, potentials have been detd. for ionization from the C:C π , C:N π , and N lone pair orbitals, and other higher ionization potentials have been detd. but not assigned explicitly. A no. of ionization potentials have been detd. for mono-, di-, and trichloromethyl cyanides, but absence of accompanying vibrational structure and the addnl. complexity caused by the levels derived from $3p$ electrons in the Cl atoms make specific assignments impossible.

RCPP

C.I. 1970.73.2

+7



ClCN

Lide D. R.

1970

N. Mol. Spectrosc.,
33(3), 448.

Acc. N.

M. N.

(Acc. N₂O) III

СССР

ВФ-1932-XIV

1970

19 Д370. Ферми-дублет v_1 и $2v_2$ CICN при высоком разрешении. Murchison Craig B., Overend John. The Fermi doublet, v_1 and $2v_2$, of CICN at high resolution. «Spectrochim. acta», 1970, A26, № 3, 599—609 (англ.)

В ИК-спектре газообразного CICN (75% $^{35}\text{CICN}$ + 25% $^{37}\text{CICN}$) при разрешении, превышающем 0.03 см^{-1} , исследованы полосы переходов с основного уровня на ферми-взаимодействующие колебательные уровни $10^{\circ}0$ ($v_1 \sim 714 \text{ см}^{-1}$) и $02^{\circ}0$ ($2v_2 \sim 783 \text{ см}^{-1}$). Проведена расшифровка вращательной структуры обеих полос. Рассчитаны колебательные энергии и вращательные константы возбужденных состояний, а также ферми-резонансные операторы для попарно взаимодействующих уровней $10^{\circ}0$, $02^{\circ}0$, $11^{\circ}0$, $03^{\circ}0$ ($^{35}\text{CICN}$) и $10^{\circ}0$, $02^{\circ}0$, ($^{37}\text{CICN}$). Библ. 8.

Л. В. Коновалов

Ф. 1970. ID

CICN

Bq - 1932 - XIV

1970

bpauf. no ci.

M.U.

~~126886~~ Fermi doublet, ν_1 and $2\nu_2$, of cyanogen chloride at high resolution. Murchison, Craig B.; Overend, John (Sch. of Chem., Univ. of Minnesota, Minneapolis, Minn.). *Spectrochim. Acta, Part A* 1970, 26(3), 599-609 (Eng). The Fermi doublet, ν_1 and $2\nu_2$, of CICN, at $\sim 13 \mu$ in the gas-phase ir spectrum, has been measured with a resoln. of better than 0.03 cm^{-1} . The sample was prep'd. from natural chlorine and contained $^{35}\text{Cl}^{12}\text{C}^{14}\text{N}$ ($\sim 75\%$) and $^{37}\text{Cl}^{12}\text{C}^{14}\text{N}$ ($\sim 25\%$). The vibrational energies and rotational consts. were detd. for a no. of states of these mols., the Fermi-resonance operators are estd. for the 10^00 , 02^00 and 11^10 , 03^10 diads of $^{35}\text{ClCN}$ and the 10^00 , 02^00 diad of $^{37}\text{ClCN}$.

RCSO

C.A. 1970. 72.24

1940

CCCN

Olympia P.Z.,
Olympia M.K.

xxvii.
Chem.

J. Chem. Phys.,

1941, 54, 3, 1421.

(Ces. FCN) III

CECN

R124-XIV / 1970

Ruoff s.

Spectrochium. acta, A2b (3),
545

V.

ent. u.

M. u.

(Cee. FCN) III

CCCN

Ramaswamy K.,
Ranganathan V.

1980

act. noct.

Z. Naturforsch., 25 b (7),
657.

(CCN, CCN) III

Hal-CN

1971.

ClCN^+

4 Д364. Исследование геометрии положительных ионов галоидцианов методом фотоэлектронной спектроскопии. Hollas J. M., Sutherland T. A. Geometry of cyanogen halide positive ions from photoelectron spectroscopy. «Mol. Phys.», 1971, 22, № 2, 213—223 (англ.)

По интенсивностям колебательных полос в фотоэлектронных спектрах газообразных ClCN , BrCN и JCN изучена геометрия положит. ионов HalCN^+ в различных состояниях. Обнаружено 5 систем полос и выполнено их отождествление. Первая и вторая системы отнесены к испусканию электрона с 2π МО в состояниях $\tilde{X}^2\Pi_{3/2}$ и $\tilde{X}^2\Pi_{1/2}$; величина спин-орбитального расщепления составляет 0,028 эв для ClCN^+ , 0,184 для BrCN^+ и 0,546 эв для JCN^+ . Третья система, отнесенная к состоянию $\tilde{I}^2\Sigma$, связана с испусканием с 4σ МО, а четвертая и пятая ($\tilde{I}^2\Pi$) характеризуются неразрешенным расщеплением. Приведены величины колебательных частот для всех электронных состояний ионов и изменений длин связей при ионизации. Библ. 9.

...2

☒

оп-1972-40

С. Ф. Б.

ClCN⁺

BrCN⁺

ICN⁺

стрижки
напад.

фотосл. енергія

C. H.

1942. 46. 4

XIV-3535

1941

(19893) Geometry of cyanogen halide positive ions from photoelectron spectroscopy. Hollas, J. M.; Sutherland, T. A. (Chem. Dep., Univ. Reading, Reading/Berkshire, Engl.). *Mol. Phys.* 1971, 22(2), 213-23 (Eng). The geometries of the $\tilde{X}^2\Pi_{3/2}$ and $\tilde{X}^2\Pi_{1/2}$ states of ClCN⁺, BrCN⁺, and ICN⁺, the $\tilde{1}^2\Sigma^+$ states of ClCN⁺ and BrCN⁺, and the $\tilde{2}^2\Pi$ state of ClCN⁺ were calcd. from vibrational-band intensities in the photoelectron spectra of ClCN, BrCN, and ICN. The results justify fairly well a simple picture of π MO's in these mols., but this is not the case for the σ MO's.

(+2)



XIV-3535

1941

секр
секр +

№е

9 Б124. Геометрия положительных ионов галогенцианов из данных фотоэлектронной спектроскопии Nollas J. M., Sutherland T. A. Geometry of cyanogen halide positive ions from photoelectron spectroscopy. «Mol. Phys.», 1971, 22, № 2, 213—223 (англ.)

Системы полос колебательных электронных спектров CICN (I), BrCN (II) и JCН (III) использованы для вычисления длин связей (R) молекул в основном состоянии. Рассчитаны значения R для положит. ионов I—III в $X^2\Pi_{3/2}$ - и $X^2\Pi_{1/2}$ -состояниях, I и II в $1^2\Sigma^+$ -состоянии и I в $2^2\Pi$ -состоянии. Полученные значения R (в Å) изменяются для связи С—галоген от 1,631 I до 1,994 III,

РМХ,

1972, № 9

☒

(+)

БДН № 100
БДН № 100
БДН № 100

$P(C-N)$ равны: 1,159 (I), 1,158 (II), 1,159 (III). Показано, что интенсивности в первых двух системах полос I прямо пропорциональны изменению R при переходе от основного состояния молекул к одному из состояний иона. В третьей системе полос для I и II аналогичной пропорциональности не наблюдается. Результаты подтверждают простую картину молекулярных π -орбиталей, но не σ -орбиталей. Применимость метода ограничивается спектрами молекул, массы атомов которых значительно отличаются.

М. Туркина

1981

CNCl

156522f - Vibrational anharmonicity in cyanogen chloride.
Murchinson, Craig B. (Univ. Minnesota, Minneapolis, Minn.).
1970, 101 pp. (Eng). Avail. Univ. Microfilms, Ann Arbor,
Mich., Order No. 71-18,785. From *Diss. Abstr. Int. B* 1971,
32(1), 209-10.

ноченко

ст.нр.п.и.

C.A. 1981. 45. 26

СЕСН

(спектр)

б
матриц

Di;

ст. 17.

XIV-3344

1971

5 Б284. Спектры инфракрасного поглощения матрично-изолированного CICN и ангармоническое межмолекулярное силовое поле. Murchison Craig B., Overtend John. Infrared spectra of CICN in matrix isolation and the anharmonic intramolecular force field. «Spectrochim. acta», 1971, A27, № 9, 1509—1524 (англ.)

Измерены спектры ИК-поглощения CICN, изолированного в Ag и Ne матрицах. В ИК-спектре, кроме основных колебаний, идентифицирован ряд обертонаов и составных полос. На основании полученных данных вычислены коэф. ангармоничности χ_{13} и χ_{23} , величины к-рых оказались близки соотв-щим величинам, вычисленным из данных по ИК-спектру газ. CICN. Т. обр. показано, что матричное окружение возмущает ангармонич. межмолек. силовые постоянные не более, чем гармонические.

Г. Кузьянц

X·1972·5

CCW

XIV-3844

1944

No CCW

Astroph.

135430 Infrared spectra of cyanogen chloride in matrix isolation and the anharmonic intramolecular force field. Murchison, Craig B.; Overend, John (Sch. Chem., Univ. Minnesota, Minneapolis, Minn.). *Spectrochim. Acta, Part A* 1971, 27(9), 1509-24 (Eng). Infrared spectra of ClCN isolated in Ar and Ne matrices have been measured at temps. between 4-20°K. A no. of combination and overtone bands have been obsd. in addn. to the fundamentals and values of the anharmonic coeffs. x_{12} and x_{23} have been deduced. The values found for these anharmonic coeffs. in the matrix are close to the values found previously for ClCN in the gas phase. It is possible to account for the obsd. matrix shifts in the wavenos. of the vibrational lines by adjusting slightly the quadratic intramol. force consts. The results indicate that the matrix cage does not perturb the anharmonic intramol. force consts. any more than the quadratic ones.

C.A. 1944.

45.82

Cl CN

2 Д557. ИК-спектр ClCN в матрице и ангармоничность внутримолекулярного силового поля. *Murchison Craig B., Overend John P.* Infrared spectra of ClCN in matrix isolation and the anharmonic intramolecular force fields. «Spectrochim. acta», 1971, A27, № 9, 1509—1524 (англ.)

1971

спеклер
в
матрице

Исследованы ИК-спектры изотопных молекул $^{35}\text{Cl}^{12}\text{C}^{14}\text{N}$, $^{37}\text{Cl}^{12}\text{C}^{14}\text{N}$, $^{35}\text{Cl}^{13}\text{C}^{14}\text{N}$, $^{35}\text{Cl}^{12}\text{C}^{15}\text{N}$ в матрицах А и Ne при 4°К и в матрице CF_4 при 20°К. Идентифицированы полосы обертонов и комбинаций частот. Расчитанные коэф. ангармоничности x_{23} и x_{13} для молекул в матрицах и в газообразном состоянии близки между собой. Сделан вывод, что ячейка матрицы мало влияет на внутримолекулярные ангармонич. постоянные. Приведены спектры частот и силовых постоянных для изотопных молекул ClCN в матрицах. Библ. 6. Э. В. Б.

334/4

МНУ

Ф. 1972

20

1971

CCW

(135170z) Anharmonic force constants of cyanogen chloride.
Murchison, Craig B.; Overend, John (Sch. Chem., Univ.
Minnesota, Minneapolis, Minn.). *Spectrochim. Acta, Part A*
1971, 27(9), 1801-9 (Eng). An attempt has been made to
adjust the force consts. in the general quartic force field of CICN
to the vibrational energies and the rotational consts. by using
std. least-squares methods. The general quartic force field
contained too many adjustable parameters and, therefore, a
Morse function was used for bond-bond stretching potentials and
the interaction force consts. were modeled in a semi-empirical
way. Numerical values have been obtained for the quadratic,
cubic and quartic force consts.

Circob.

Noct,

Allzaphil.

C.A. 1971 45 22

ClCN

1971

2 Б42. Ангармонические силовые постоянные молекулы CICN. Murchison Craig B., Overend John. Anharmonic force constants of CICN. «Spectrochim. acta», 1971, A27, № 9, 1801—1809 (англ.)

Vi
III. N.
Clin. n.
1971

Из эксперим. значений нулевых частот ω_i^0 , постоянных ангармоничности x_{ij} , постоянных a_i , характеризующих зависимость вращательной постоянной от колебательного состояния, и из постоянных λ_i и δ_i , характеризующих зависимость параметра резонанса Ферми от колебательного и вращательного состояний, соотв. методом наименьших квадратов вычислены квадратич., кубич. и квартич. силовые коэф. молекулы CICN. Показано, что имеющихся эксперим. данных недостаточно для вычисления всех 19 параметров наиболее общего силового поля CICN.

X·1971d·d

Предложена приближенная модель силового поля для ClON, в к-рой для связей используются функции Морзе, для определения коэф. взаимодействия связей используются соотношения, полученные ранее для других молекул, а большинство квартич. силовых коэф., соотв-щих валентным координатам, полагается равным нулю. Это силовое поле удовлетворительно воспроизводит все имеющиеся эксперим. данные для трех изотопич. видов ClCN.

М. Р. Алиев

ACN

BD-XIV-3559

1981

8 Б418. CICN: колебательная ангармоничность и
рассмотрение резонанса Ферми. Murchison Craig B.,
Overend John. CICN: vibrational anharmonicity and
the treatment of Fermi resonance. «Spectrochim. acta»,
1971, A27, № 11, 2407—2423 (англ.)

μ; ν
и. н.

Исследованы с высоким разрешением ИК-спектры по-
глощения образца CICN (газ) (с естественным содержа-
нием изотопов) в области ~ 360 — 4420 см $^{-1}$ (полосы ν_2 ,
 $2\nu_3$, $2\nu_1$, $\nu_1+2\nu_2^0$ и $4\nu_3^0$ Cl 35 CN (I), полоса ν_2 Cl 37 CN (II).
С использованием метода наименьших квадратов опреде-
лены из вращательного анализа молек. постоянные I и
II (для нижних колебательных состояний I, II при этом
использовались МВ-значения постоянных; для верхних
колебательных состояний (начала полос $\nu_0=B'l^2+B''l^2$)
вращательные постоянные B' и постоянные центробежно-

X·1982·8

го искажения D'). Проанализирован резонанс Ферми между колебательными состояниями I и II $|v_1, v_2, l_2, v_3\rangle$ и $|v_1-1, v_2+1, l_2, v_3\rangle$ и экспериментально определялась зависимость матричного элемента оператора резонанса Ферми $\langle v_1, v_2, l_2, v_3 | H_1 | v_1-1, v_2+2, l_2, v_3 \rangle$ от вращательно квантового числа j и колебательных квантовых чисел v_2 и v_3 . Приведены с исправлением на эффекты резонанса Ферми величины гармонич. частот ω_s и коэф. ангармоничности X_{ss} . I и II Кубич. коэф. в разложении потенциальной функции I и II K_{122} равен $46,49 \text{ см}^{-1}$. С использованием этого значения K_{122} и вращательной постоянной a_3 вычислен коэф. I, II $K_{223}=214,22 \text{ см}^{-1}$. На основании большой величины коэф. K_{223} предположено существование резонанса Ферми между состояниями $|v_1, v_2, l_2, v_3\rangle$ и $|v_1, v_2+2, l_2, v_3-1\rangle$, однако вклад этого взаимодействия в колебательные энергии незначителен ($\sim 0,1 \text{ см}^{-1}$).

А. П. Александров

CCW

BP-XIV-3559

1941

M. n.

ω_s , x_{ss}

~~1975~~ Cyanogen chloride. Vibrational anharmonicity and the treatment of Fermi resonance. Murchison, Craig B.; Overend, John (Sch. Chem., Univ. Minnesota, Minneapolis, Minn.). *Spectrochim. Acta, Part A* 1971, 27(11), 2407-23 (Eng). The ir spectra of the v_2 , $2v_3$, $2v_1$, $v_1 + 2v_2^0$ and $4v_2^0$ bands of $^{35}\text{CICN}$ were measured at high resolution and the spectra were analyzed to obtain rotational consts. and vibrational band origins. Combining these data with those in the literature, it is possible to det. a set of ω_s and x_{ss} , cor. for the effects of the Fermi resonance between the states $|v_1, v_2, l_2, v_3\rangle$ and $|v_1 - 1, v_2 + 2, l_2, v_3\rangle$. The dependence of the matrix element of the Fermi-resonance operator on the rotational quantum no. J and on the vibrational quantum nos. v_2 and v_3 was also detd. exptl.

C. H.

1941. 46. V

CECN

1971

Malishek, Vladimer.

"Acta Univ. Palacki. Olomus.
Fac. Regum Natur."

Czech.

1971, N33, 309-23.

(cav. HF; III)

CCN

1971

12 Д384. Спектры комбинационного рассеяния жидких и кристаллических CICN и BrCN. Pézolet M., Savoie R. Raman spectra of liquid and crystalline CICN and BrCN. «J. Chem. Phys.», 1971, № 54, № 12, 5266—5270 (англ.)

Исследованы спектры комб. рас. жидк. и кристаллич. образцов CICN и BrCN при различных т-рах до 77° К. В качестве источника возбуждения использовался Не—Не-лазер. Обнаружено, что с низкочастотной стороны линий, соответствующих валентным колебаниям, наблюдается плечо, которое авторы приписывают образованию димеров XCN—XCN. Вычислены силовые постоянные для свободных молекул CICN и BrCN и их димеров. Выполнена интерпретация частот, наблюдаваемых в спектрах кристаллич. образцов CICN и BrCN.
Библ. 20.

Н. А. С.

8. 1971. 120



Фине 466



ClCN

1971

21 Б213. Спектры комбинационного рассеяния жидких и кристаллических ClCN и BrCN. Pézoldt M., Savoie R. Raman spectra of liquid and crystalline ClCN and BrCN. «J. Chem. Phys.», 1971, 54, № 12, 5266—5270 (англ.)

Получены спектры КР жидк. и крист. ClCN и BrCN (BrCN исследован в монокристалле). Появление низкочастотных линий-сателлитов у колебаний ν_1 и ν_3 этих молекул в жидк. состоянии и их положение не может быть объяснено изотопич. эффектом и связано с образованием линейных димеров типа X—C—N... X—C—N

+1
X 1971.21

(+1)

☒

D_i (X=Cl, Br). Произведенный расчет частот нормальных колебаний димеров с использованием данных по поглощению в далекой ИК-области для определения силовой постоянной межмол. связи N...X дал хорошие результаты. На основе поляризац. спектров КР монокристалла CNBr дана полная (включая крист. частоты) интерпретация спектров КР кристаллов, кристаллам приписана симметрия D_{2h}^{13} с двумя молекулами в элементарной ячейке, локальная симметрия молекул C_{2v} , фактор-группа — D_{2h} .

А. Бобров

CCCN (rc)

1971

27907 m Raman spectra of liquid and crystalline cyanogen chloride and cyanogen bromide. Pezolet, M.; Savoie, R. (Cent. Rech. At. Mol., Univ. Laval, Quebec, Que.). *J. Chem. Phys.* 1971, 54(12), 5266-70 (Eng). Raman spectra of liq. and solid CICN and BrCN were recorded at various temps. down to 77°K. Shoulders on the low-frequency side of the stretching fundamentals in the spectra of the liqs. are believed to arise from assocd. mols. The spectra of the solids are consistent with the reported crystal structures, and polarization effects in a BrCN single crystal have allowed an unambiguous assignment of all the bands in the Raman spectrum.

+1

BrCN

C.d. 1971.45.4.

CECN

BP-XIV-3405

1971

BrCN

(V)

Ar, helium
& Matpure

39569m Infrared matrix-isolation studies of cyanogen bromide and cyanogen chloride. Fermi resonance and dimer structure. Freedman, Teresa B.; Nixon, Eugene R. (Dep. Chem., Univ. Pennsylvania, Philadelphia, Pa.). *J. Chem. Phys.* 1972, 56(2), 698-707 (Eng). The ir spectra of ClCN and BrCN in Ar and Kr matrixes at 20°K were investigated. There is good evidence that for the monomeric species the bending mode is split by the matrix environment and that the 1st overtones of these 2 bending components form a Fermi resonant triad with the ν_1 fundamental. The frequencies and intensities of the unperturbed levels and the Fermi-coupling consts. were calcd. The absorption bands due to dimeric species are consistent with a linear or nearly linear configuration for the dimer.

C. et. 1972.76.8

CCN

1972

Freedman T.B.

Vi Diss. Abstr. Int., 1972, 33,
1478.

● (See FCN) III

CCCN

1972

Smith D. Fross, Jr., ugr.

(C.N.)

"J. Chem. Phys.", 1972, 57, N1,
523-29.

(cu. CO₂, II)

1973

Cl CN

бюзор современной имен

рамы по за период до декаб-
ря 1971 г., а в мемориах
коэффициентов и чистотах до 1972 г.

коэффициентов и

коэффициентов -

- сплошь.

коэффициентов

London Chem Soc 1973, xvi
622 pp ill (ans).(см Cl_2 ; III)

CCN

o5jop

1973

Chadwick B.W.
Edwards H.G.

herbaceum
var. subsp. tif
enervans

, Mol Street rose Vol 7^r
1973, 446-522 (accu)

(all C.N. III)

HCN; III)

40227.7541

TE, Ph, Ch

CCN

1973

40892

45-3895

Müller A., Mohan N., Alix A. On some aspects of the first-order centrifugal distortion constants in polyatomic molecules. "J. Chem. Phys.", 1973, 61(2), 6112-6118

(англ.)

59, NII,

0054 БИК

039 040 0046

ВИНИТИ

50907.4631

1973

Fh., TE, Ch

У-1689

CCN

(c.n) 31603 *

Wang Victor K., Overend John.

Vibrational anharmonicity in the cyano-
gen halides; a preliminary study using
the anhderson potential function.

"Spectrochim, acta", 1973, A29, N 8,
1623-1633

(англ.)

938 939 0051 0958 якк ВИНИТИ

31008.8362
TE, Ch, Ph

Оннисе 1201

CCCN

41125

1973

Wang Victor K., Goplen Thomas G.,
Overend John.

Determination of anharmonic potential
constants in linear XYZ molecules.

"J. Mol. Spectrosc.", 1973, 46, N 3,
509-512

(англ.)

957 962

969

0976

ВИНИТИ

CCW

Y-804

1974

(u,n) 161950t Some theoretical aspects of the l-type doubling constant q_e . Application to XYZ ($C_{\infty v}$) type molecules. Mohan, N.; Mueller, A. (Inst. Chem., Univ. Dortmund, Dortmund, Ger.). *Z. Naturforsch.*, Teil A 1974, 29(12), 1782-6 (Eng). The relations between the l -doubling const. q_e and the centrifugal distortion const. D_e and the range of real values of q_e for XYZ ($C_{\infty v}$)-type mols., e.g. CICN, were derived in detail showing that the known exptl. value of q_e for many mols. is in the neighborhood of its min. The mass effect on q_e was also studied and discussed with respect to the 1st order Coriolis coupling const.

C.A.1975,82 n 24.

40906.1819

Ph, TC, Ch

CCN

40892 02

1974

2350

Kukamel Shaul, Jortner Joshua. Molecular photodissociation.

"J. Chem. Phys.", 1974, 60, N 12, 4760-

4777 (англ.)

0186 вкл 1

152 156 ..

ВИНИТИ

1974

декр

Бтим по научно-исследовательской работе ИВТДИ отчет № 8
"Примоди национальные св. в а
шота Богородца и их соединен
ий"



40904.7345
Ch, Ph, TC

cccv 30526

1974

024 2388

Simons J. P., Tasker P.W.

Further comments on energy partitioning
in photodissociation and photosensiti-
zation: vacuum u.v. photolysis of
cyanogen halides.

"Mol. Phys.", 1974, 27, N 6, 1691-1695
(англ.)

150 153 = 111 0185 ВИНИТИ

1974

ClCN

(CN)₂Hg(CN)₂

(Ji; crud. nos)

97071g Kinematic effects in the studies of frequency shifts from free to complexed ligands. Cyvin, Sven J. (Inst. Theor. Chem., Tech. Univ. Norway, Trondheim, Norway). *Rev. Chim. Miner.* 1974, 11(1), 1-12 (Eng). The kinematic effects on vibrational frequencies of complexes were studied theor. for the linear models MAB, (AB)₂, and M(AB)₂ where the AB groups are considered as ligands. Two nonvanishing force consts. were assumed for the linear vibrations in each of the models. The theory was applied to ClCN, (CN)₂, and Hg(CN)₂ as numerical examples. The obsd. frequencies in these compds. were reproduced satisfactorily after proper adjustments of the force consts.

+2

C.A. 1974 81 N16

CCCN

1975

Diab S., Simons G.,

Chem. Phys. Lett.,

(i, cum. no. 5.

1975, 34(2), 311-316.

(H₂O; II)

C₂CN

BrCN

6 Б180. Межмолекулярные силовые постоянные в конденсированной фазе: CICN и BrCN. Ghosh P. G. and N. Intermolecular force constants in the condensed phase: CICN and BrCN. «Indian J. Phys.», 1975, 49, № 10, 776—782 (англ.)

1975

Проведен расчет меж- и внутримолек. силовых постоянных CICN и BrCN для жидк. (димер) и крист. фаз в предположении решеточной структуры в виде бесконечной трехатомной линейной цепи и аддитивности межмолек. и внутримолек. сил. Рассчитанные межмолек. силовые постоянные вдоль цепи K_x — изменяются в пределах от 0,1 до 0,15 мди/А для жидк. фазы и 0,5—0,7 мди/А для кристаллов. Величины K_x в крист. фазе почти не зависят от т-ры. Значения вал. силовых постоянных $K(C-X)$ и $K(C \equiv N)$ в кристаллах примерно те же, что в жидк. димерах. Полученные результаты согласуются с ранее сделанными оценками для жидкости и с данными ЯКР и структурного анализа для кристаллов. Сделан вывод, что в тв. состоянии связи внутри цепи значительно сильнее, чем между цепями, и имеют явно выраженный ковалентный характер.

Е. Разумова

У - 15/253

(71)

☒

X. 1977 № 6

CCCN

Omniscient 3412

1975

Izotani, S.

J. Mol. Struct.
"1975, 28, N1, 61-76
(annual)

ann. noem.

CL-CN

OFT. 4824

1925

Kerr J. A. et al.

(Do) Handbook Chem. Phys.,
55 th Ed., 1974-75.

CCCN

BP-4581-XI

1975

Müller A.,

Z. chem. phys. et phys. chem. biol.,

1975, 72, N₂, 158-162

parom
geosetka
mucopus
utrigularia

(act H₂O; II)

CCN

1975

D. Salim., S. Gary.,

Kosqgs.
curvobora
name

1975, 34, N2, 311-316

(air H₂O; ''')

ClCN⁺

4-14.4.13

1976

BrCN⁺

JCN⁺

1 Д363. Спектры испускания катион-радикалов ClCN⁺, BrCN⁺ и JCN⁺: системы полос $B^2\Pi \rightarrow X^2\Pi$ и $A^2\Sigma^+ \rightarrow X^2\Pi$. Allan M., Maier J. P. The emission spectra of ClCN⁺, BrCN⁺, JCN⁺ radical cations: $B^2\Pi \rightarrow X^2\Pi$ and $A^2\Sigma^+ \rightarrow X^2\Pi$ band systems. «Chem. Phys. Lett.», 1976, 41, № 2, 231—235 (англ.)

Спектры испускания катион-радикалов ClCN⁺, BrCN⁺ и JCN⁺, возбуждаемые электронным ударом (~40 эв) в парах соответствующих соединений, исследованы в области 400—900 нм с разрешением 1,8 Å для ClCN⁺ и 1,3 Å для BrCN⁺ и JCN⁺. Обнаружены 2 системы полос $B^2\Pi - X^2\Pi$ и $A^2\Sigma^+ - X^2\Pi$, идентифицированные на основании сравнения с фотоэлектронными спектрами цианогалондов. С использованием импульсного возбуждения (40 эв, 70 исек, 80 кгц) и техники задержанных совпадений измерены времена жизни уровней O_0^0 состояний $A^2\Sigma^+$ и $B^2\Pi$. Библ. 3.

(+2)

(X)

ф. 1977 № 1

ClCN⁺

XIV-14743

1976

BrCN⁺

ICN⁺

Jel. cscnsp

85: 101871v The emission spectra of ClCN⁺, BrCN⁺, ICN⁺ radical cations: $B^2\Pi \rightarrow X^2\Pi$ and $A^2\Sigma^+ \rightarrow X^2\Pi$ band systems. Allan, M.; Maier, J. P. (Phys.-Chem. Inst., Univ. Basel, Basel, Switz.). *Chem. Phys. Lett.* 1976, 41(2), 231-5 (Eng). The emission spectra of the ClCN⁺, BrCN⁺ and ICN⁺ radical cations, excited in the gaseous phase by electron impact were obsd. in the 400-900 nm wavelength region. The 2 band systems, $B^2\Pi \rightarrow X^2\Pi$ and $A^2\Sigma^+ \rightarrow X^2\Pi$ were identified by ref. to the photoelectron spectra of the cyanogen halides. The lifetimes of the 0_0^0 level of the $A^2\Sigma^+$ state and of the $B^2\Pi$ state were also measured.

XIV-7328

(#2)

C.A.1976 85N14

СССР

№ 13-14743

1976

BrCN

JCN⁺

(н, н)

+2

□

2 Б145. Спектры испускания радикалов ClCN^+ , BrCN^+ , JCN^+ : системы полос $B^2\Pi - \tilde{X}^2\Pi$ и $\tilde{A}^2\Sigma^+ - \tilde{X}^2\Pi$.
АПГан М., Маier J. P. The emission spectra of ClCN^+ , BrCN^+ , JCN^+ radical cations: $B^2\Pi \rightarrow \tilde{X}^2\Pi$ and $\tilde{A}^2\Sigma^+ \rightarrow \tilde{X}^2\Pi$ band systems. «Chem. Phys. Lett.», 1976, 41, № 2, 231—235 (англ.)

В области 400—900 нм измерены спектры испускания положительно заряженных радикалов ClCN^+ (I), BrCN^+ (II), JCN^+ (III). Спектры возбуждали электронным ударом. Обнаружено по две системы полос, отнесенных на основании данных по фотоэлектронным спектрам соответствующих галогенидов циана, к переходам $\tilde{A}^2\Sigma^+ - \tilde{X}^2\Pi_{\Omega}$ и $\tilde{B}^2\Pi_{\Omega} - \tilde{X}^2\Pi_{\Omega}$ ($\Omega = 3/2, 1/2$).

В случае перехода $\tilde{A} - \tilde{X}$ идентифицированы нулевые полосы подсистем с $\Omega = 3/2$ и $1/2$: 11 696 и 11 420 см^{-1} (I), 13 700 и 12 225 см^{-1} (II), 18 265 и 13 930 см^{-1} (III).

Определены времена жизни I—III в состояниях $\tilde{A}^2\Sigma^+$ (нулевой уровень) и \tilde{B}^2H_{Ω} , равные, соотв., (исек) 4400 и 205 (I), 3000 и 270 (II), 1200 и 300 (III). В. М. К.

Х 1974 N 2

CCCN

annua 4941

1976°

Bolleg Reiz.

Z. Cherr. 1976, 16 N°,
430-5

(vul. vob.)

(col. H₂O, III)

Cl CN

1976

Černiák V., et al.

(unpublished)
Terniakova) J. Electron Spectrosc. and
Relat. Phenom., 1976, 8, N2,
109-121.



$\text{Cu}(\text{CN})_2$

CCN

ClNO

XUS-12614

1976

84: 171594k On the electronic structure of cyanogen chloride and nitrosyl chloride. Gilberg, E.; Schaetzl, W.; Schrenk, H. W. (Sekt. Phys., Univ. Muenchen, Munich, Ger.). *Chem. Phys.* 1976, 13(2), 115-20 (Eng). The ionization potentials and relative x-ray intensities were calcd. for CNCl and NOCl by means of an ab initio LCAO SCF program. The data obtained are compared with the Cl $K\beta$ spectra which were recorded by using a high-resolution curved crystal spectrograph. The agreement between theory and expt. is satisfactory and allows for a reliable assignment of the prominent spectral features to the corresponding mol. x-ray transitions. A strong conjugation of the Cl lone pair electrons with the π bonds of the CN group was found for CNCl. In the case of NOCl, a corresponding conjugation of the Cl lone pair electrons with the double bonds of the NO group is absent.

71



O.A. 1976 84 n24

CNCl
NOCl

У-12614

1976

8Д163. Электронное строение CNCl и NOCl. Gilberg E., Schätzl W., Schrenk H. W. On the electronic structure of CNCl and NOCl. «Chem. Phys.», 1976, 13, № 2, 115—120 (англ.)

Неэмпирическим методом ССП МО ЛКАО исследовано электронное строение CNCl (I) и NOCl (II). Использованы базисы лепестковых гауссовских ф-ций C, N(9s5p)Cl (12s9p) для I и O, N(5s4p)Cl (10s4p) для II. Исследованы рентгеновские спектры Cl Кβ I и II. Рассчитаны потенциалы ионизации и относит. интенсивности в рентгеновских спектрах I и II. На основании полученных результатов проведена детальная интерпретация рентгеновских и фотоэлектронных спектров. Показано, что в I имеется сильное сопряжение неподеленной пары электронов атома Cl с π-связью группы CN, а в II такое сопряжение с двойной связью группы NO отсутствует.

В. Л. Лебедев

(+) X

Электр.
спектр.

Ф. 1976, № 8.

CNCl

NOCl

ХУ-12614

1976

17 Б30.. Электронное строение CNCl и NOCl. Gilberg E., Schätzl W., Schrenk H. W. On the electronic structure of CNCl and NOCl. «Chem. Phys.», 1976, 13, № 2, 115—120 (англ.)

С целью интерпретации рентгеновских эмиссионных CIK_{β} -, $ClL_{2,3}$ -, NK_{α} -, CK_{α} - и OK_{α} -спектров неэмпирическим методом ССП ЛКАО МО в базисе лепестковых гауссовых орбиталей рассчитано электронное строение молекул CNCl(I) и NOCl(II). Расчет I проведен в базисе [C, N; 9s5p/Cl; 12s9p], а расчет II был проведен в меньшем базисе [N, O; 5s4p/Cl; 10s4p]. Результаты расчета I сопоставлены с неэмпирическим расчетом I в базисе хартри-фоковских АО. Орбитальные энергии валентных уровней в обоих расчетах отличаются не более, чем на 0,5 эв. Энергетическое положение пиков в рентгеновских спектрах определено без учета эффектов релаксации МО. С использованием полученных волновых функций проведены расчеты матричных элементов вероятностей переходов. Для интерпретации спектров привлечены также фотоэлектронные спектры I, II. В CIK_{β} -спектре I наблюдаются три хорошо разрешенных пика A, B и E, а также два наплыва C и D в низкоэнергетической области.

(+1) 8

Электро-
спектр.

Х-1976

н/т

сти пика *E*. Теоретически рассчитанный спектр сдвинут и нормирован т. обр., чтобы наиболее интенсивный пик *B* соответствовал МО 2π . В этом случае лик *A* соответствует МО 8σ , отвечающей связывающему взаимодействию C—Cl, при этом вклады от $2p=AO$ атома азота в этой МО крайне малы, что подтверждается формой рентгеновских NK_{α} , CK_{α} и CK_{α} и $ClL_{2,3}$ эмиссионных спектров. Наплыv *C* отвечает переходу с МО 9σ , к-рая соответствует σ -связи C—N. Этот вывод также подтверждается формой CK_{α} - и NK_{α} -спектров. Пик *E* соответствует переходу с МО 3π , причем с учетом колебательной структуры соотв-щих полосы в фотоэлектронном спектре его можно интерпретировать как переход не из основного ($v'=0$), а из возбужденного колебательного состояния с $\chi'=1$ или даже $v'=2$. Наплыv *D* связан с колебательным состоянием с $v'=3$). При интерпретации ClK_{β} -спектра *II* два наиболее интенсивных перехода с МО $12a'$ и $3a''$, к-рые соответствуют неподеленным парам атома Cl (отличающихся по энергии менее чем на 0,1 эв), совмещены с главным пиком *B*. В результате сильно размытый пик *A* с малой интенсивностью отнесен к МО $10a'$, $11a'$ и $2a''$, лежащим в диапазоне ~3 эв. Наплыv *D* отнесен к связывающей МО $13a'$, соответствующей взаимодействию Cl—N и Cl—O. Это отнесение подтверждено положением пиков и их интенсивностями в OK_{α} - и NK_{α} -спектрах. Природа наплыva *C* и малоинтенсивного пика *E* не установлена. Первый может быть связан с примесями HCl, а второй — с радиацией или многоэлектронными переходами. В обеих системах прямой расчет вероятностей переходов с использованием волновых функций находится в неплохом колич. соответствии с опытом. Отмечено, что в *I* обнаружено сильное сопряжение неподеленных пар Cl с π -связями группы CN. В *II* такого сопряжения неподеленных пар Cl с двойной связью N=O не обнаружено.

С. Долин

CCCN

1976

Buade C.R.,

J. Chem. Phys., 1976,
64, N^F, 2783-95.

(palet
kalleq. Cg.)
DH.

(au Cl₂) ^{III}

60323.1301

41197

Ex-C, Ch, TC, MGP

CCCN

1976

3967

Politzer Peter, Kasten Stephen D.
 Analysis of the charge distributions in
 molecules of the types XCCN and XCN .
 "J. Phys. Chem.", 1976, 80, 113, 283-287 (англ.)

(Си и HCCN , 14)

0575/1

559 559 567

ВИНИТИ

CCCN

* US-12862

1976

(corrosion)
(copper)
Apt)

Staley R.H., et al
J Amer Chem Soc, 1976,
98, N8, 2081-85

(see MCN)

CLCN

CLNO

kb. ext.
factors

DTT. 4394

1976

85; 834871 Ab initio calculations on cyanogen chloride and nitrosyl chloride. Stoegard, Asc (Dep. Chem., Univ. Bergen, Bergen, Norway). *Chem. Phys. Lett.*, 1976, 40(3), 429-32 (Eng). Ab initio calcns. are presented for the mols. ClCN and ONCl with optimization of all geometric parameters. Calcd. equil. geometries for ClCN are in good agreement with microwave data; however, the calcd. N-Cl distance in ONCl is ~0.1 Å shorter than obtained by electron diffraction. Orbital energies are calcd. by means of Koopmans' theorem and also by ΔSCF calcns. The importance of relaxation energy is shown by comparing the calcd. orbital energies with exptl. data from photoelectron spectra of the valence levels.

(+1) □



C.A. 1976 85 n12

СЛСН

отмече 4394

1976

~~ОСТАВИТЬ~~
 22 Б25. Неэмпирические расчеты CICN и ONCl.
 Støgaard Ase. Ab initio calculations on CICN and
 ONCl. «Chem. Phys. Lett.», 1976, 40, № 3, 429—432
 (англ.).

Методом ССП в расширенном базисе гауссовых орбиталей (ГО) проведены неэмпирические расчеты электронного строения молекул CICN и ONCl. Для C, N и O базис $9s5p$ сгруппирован в базис $4s2p$. Для Cl базис $12s9p$ сгруппирован в $6s4p$. Ряд расчетов проводился также с базисом, включающим в себя d -AO Cl. Для обеих молекул проводилась полная оптимизация геометрии для симметрии $C_{\infty v}$ (CICN) и C_s (ONCl). Рассчитанная геометрия для CICN хорошо согласуется с данными МВ спектров; в ONCl теор. длина связи N—Cl на 0,1 Å меньше эксперим. значения. Потенциалы ионизации определялись по теореме Купменса и из прямых расчетов разностей полных энергий нейтральной и ионизированной молекулы (Δ ССП). Хорошее согласие с эксперим. потенциалами ионизации, полученное при Δ ССП, указывает на существенную роль учета релаксаций. И. Тополь

ONCl

*раб. иссл.
расчеты
Д. Смирнов*

(+1)

2 1976

N 22

СЛСР
ОНСР

кв. нест.
расст
н.п.; генер

71

ф. 1976 № 1

11 Д123. Неэмпирические расчеты ClCN и ONCl.
Støgaard A sc. Ab initio calculations on ClCN and
ONCl. «Chem. Phys. Lett.», 1976, 40, № 3, 429—432
(англ.)

Неэмпирическим методом ССП МО ЛКАО в базисе гауссовских ф-ций C, N, O ($9s\ 5p$), Cl($12s\ 9p$), сгруппированном в $4s2p/6s4p$, а также в базисе с включением d -ф-ций атомов Cl, исследовано электронное строение ClCN (I) и ONCl (II). В обоих базисах проведена полная оптимизация геометрии. Для линейной I длины связей C—Cl и C—N найдены равными в базисе с учетом d -ф-ций 1,657 Å (эксперим. значение 1,630 Å) и 1,151 Å (1,163 Å), причем учет d -ф-ций несколько улучшает результаты. Для II длины связей O—N и N—Cl в sp -базисе найдены равными 1,148 Å (1,14 Å) и 1,961 Å (1,95 Å), причем включение в базис d -ф-ций сильно

ФИЛИППОВИЧ

1976.

занышают длины этих связей; валентный угол в обоих базисах оценен в 114° (116°). Рассчитанные по теореме Купманса потенциалы ионизации завышены на 1—2 эв; расчет потенциалов ионизации как разностей энергий соответствующих форм приводит к хорошему согласию с опытом, демонстрируя важность учета эффектов релаксации при ионизации. Кратко рассмотрены распределения электронной плотности. Отмечено, что в I атом Cl обладает небольшим положит. зарядом, а в II — не-большим отрицат. зарядом, но заселенности 3d-АО атома Cl в обеих молекулах очень малы. В. Л. Лебедев

CCCN omniweek 5462 1974

Ashfold M. N. R.
Simons J. P.

gomo-
guccoid. J. Chem. Soc. Faraday
Trans. II, 1974/75,

858 - 868

CLCN 08/1974 5530 1974

Beswick J. R.; et al

Chem. Phys., 1974, 24,
pino-
guaiac. 1-11.

Absorption lineshapes for
the photodissociation of ..

C≡CN
Br≡CN

1977

2 Д391. Микроволновое измерение колебательно-вращательной константы α_3 для молекул CICN и BrCN.
Перенос колебательной энергии от активного азота.
Cazzoli G., Favero P. G., Degli Esposti C.
Microwave measurement of the α_3 vibration-rotation
constant of CICN and BrCN. Vibrational energy trans-
fer from active nitrogen, «Chem. Phys. Lett.», 1977, 50,
№ 2, 336—338 (англ.)

В диапазоне 90—150 Гц измерены микроволны, спек-
тры молекул CICN и BrCN в возбужденном состоянии

(+) ✕

ф. 1978 № 2

$v_3=1$, заселением путем переноса колебательной энергии от активного азота к исследуемым молекулам. Идентифицированы линии вращательных переходов с $J=7 \div 8$, $9 \div 10$ ($^{35}\text{CICN}$), $8 \div 9$, $9 \div 10$ ($^{37}\text{CICN}$) и $14 \div 15$, $16 \div 17$ ($^{79,81}\text{BrCN}$). Определены значения вращательной и центробежной постоянных и α_3 -постоянной колебательно-вращательного взаимодействия. Вычислены равновесные длины связей: $\text{C}-\text{N}=1,1606$, $\text{C}-\text{Cl}=1,6290$ Å. М. Р. Алиев

ClCN
BrCN

1977

87: 175078e Microwave measurement of the α_3 vibration-rotation constant of chlorine cyanide and bromine cyanide. Vibrational energy transfer from active nitrogen. Cazzoli, G.; Favero, P. G.; Esposti, C. Degli (Ist. Chim. "G. Ciamician", Univ. Bologna, Bologna, Italy). *Chem. Phys. Lett.* 1977, 50(2), 336-8 (Eng). Vibrational energy transfer between active nitrogen N_2^* , and the (0,0⁰,1) state of ClCN and BrCN allowed the detn. of the α_3 vibration-rotation const. by microwave spectroscopy, with the values: $\alpha_3(^{35}\text{ClCN}) = 32.35 \text{ MHz}$, $\alpha_3(^{37}\text{ClCN}) = 31.68 \text{ MHz}$, $\alpha_3(^{79}\text{BrCN}) = 20.37 \text{ MHz}$ and $\alpha_3(^{81}\text{BrCN}) = 20.24 \text{ MHz}$. For $^{35}\text{ClCN}$ the α_1 vibration-rotation const. has also been detd. with a std. technique, giving $\alpha_1 = 24.65 \text{ MHz}$. A new evaluation was made of the equil. structure of ClCN as follows: $r_e(\text{CN}) = 1.1606 \text{ \AA}$, $r_e(\text{CCl}) = 1.6290 \text{ \AA}$.

(+) 17

C.A. 1977 . 87 . vdd

1977

CICN
BrCN

З Б254. Микроволновое измерение колебательно-вращательной постоянной α_3 CICN и BrCN. Перенос колебательной энергии от активного азота. Cazzoli G., Favero P. G., Degli Esposti C. Microwave measurement of the α_3 vibration-rotation constant of CICN and BrCN. Vibrational energy transfer from active nitrogen. «Chem. Phys. Lett.», 1977, 50, № 2, 336—338 (англ.)

Измерены МВ-спектры CICN и BrCN в состояниях $0,0^\circ, 1$, заселенных путем переноса колебательной энергии от молекул активированного азота. Получены след. постоянные для $^{35}\text{CICN}$ ($0,0^\circ, 1$) $B=5938,488$, $D_I=1,77 \pm 0,07 \times 10^{-3}$, $\alpha_3=32,35 \pm 0,02$ Мгц, для $^{35}\text{CICN}$ ($1,0^\circ, 0$) $B=5970,934$, $D_I=2,11 \times 10^{-3}$, $\alpha_1=24,65 \pm 0,05$ Мгц, для $^{37}\text{CICN}$ ($0,0^\circ, 1$) $B=5815,575$, $D_I=1,38 \times 10^{-3}$, $\alpha_3=31,68 \pm 0,02$ Мгц, для $^{79}\text{BrCN}$ ($0,0^\circ, 1$) $B=4099,824$, $D_I=8,53 \times 10^{-4}$, $\alpha_3=20,37 \pm 0,02$ Мгц, для $^{81}\text{BrCN}$ ($0,0^\circ, 1$) $B=4076,550$, $D_I=8,70 \times 10^{-4}$, $\alpha_3=20,24 \pm 0,02$ Мгц. Для параметров равновесной структуры CICN получены след. значения: $r_e(\text{CN})=1,1606$ Å, $r_e(\text{CCl})=1,6290$ Å. Для BrCN полученные значения α_3 хорошо согласуются с лит. данными. С. Б. Осин

(41) □

X, 1978,
N3

CLCN Ommen 6045 1974

Mishra K.C. et al.

Chitwood. Indian J. Pure Appl.
Phys., 1974, 15

829-33

CCN

KS-18338

1977

Spence David

(8:)

J. Chem. Phys 1947, 6, 6,
No, 669-674 (and.)



all. HCl-II

CCCN communica 6646 1978

Bazquez J. L., et al.

C.U.T.
noct. Theor. chim. acta
1978, 49, 1-11

CCCN

Lorras F. J.

1978.

(4.17) Z. Phys. and Chem. Ref.
Data, 1978, 7(4), 1445-1730

Медленный и быстрый.

II. Многомодульный процессор

1978

СССР

5 Д208. Зависимость резонанса Ферми от вращательного состояния в молекулах HCN и C1CN. Mishra K. S., Mohanty B. S. Rotational dependence of Fermi resonance in HCN and C1CN. «J. Chem. Phys.», 1978, № 5, 2064—2066 (англ.)

Теоретически рассмотрена зависимость параметра k_{122} резонанса Ферми от вращательного квантового числа J в линейных трехатомных молекулах. С учетом эффектов ангармонизма и колебательно-вращательного взаимодействия вплоть до 4-го порядка выведено общее выражение параметра δ_{122} этой зависимости через молекулярные параметры. По литературным данным для молекулярных параметров вычислены значения δ_{122} для молекул HCN, H¹³CN, HC¹⁵N, ³⁷C1CN и ³⁵Cl¹³CN. Вычисленные значения δ_{122} согласуются с экспериментальными данными.

М. Р. Алиев

(4) 47



Ф. 1979 КС

CCCN

Lommel 7528 | 1978

Ramaswamy K., et al.

Si

pacnpegec.
amocell.

nemecg.

freq. rati

Acta phys. polon.

1978, A53, (5)

733-36

1978

СРСН

6 Д253. Силовые поля цианогалогенидов. II. Хлорциан. Whiffen D. H. The force fields of cyanogen halides. II. Cyanogen chloride. «Spectrochim. acta», 1978, A34, № 12, 1173—1181 (англ.)

В приближении ангармонич. гамильтониана методом прямой диагонализации матрицы найдены параметры силового поля молекулы ClCN . Общий подход к решению задачи и система обозначений такие же, как и в ч. I (Whiffen D. H., «Spectrochim. Acta», 1978, 34A, № 12, 1165—1172). Приведены значения вычисленных частот колебаний и вращательных постоянных для двух изотопных молекул $^{35}\text{Cl}^{12}\text{C}^{14}\text{N}$ и $^{37}\text{Cl}^{12}\text{C}^{14}\text{N}$. Результаты сравниваются с имеющимися эксперим. данными. Отмечено, что в методе диагонализации удовлетворительное объяснение резонанса Ферми получается без использования каких-либо дополнительных процедур или введения специальных констант. Ч. I см. реф. 6Д252.

А. Чесный



Ф.1079 кг

1978

СРСН

12 Б75. Силовые поля галогенцианов. II. Хлорциан.
 Whiffen D. H. The force fields of cyanogen halides.
 II. Cyanogen chloride. «Spectrochim. acta», 1978, A34,
 № 12, 1173—1181 (англ.)

В естественных координатах определены 12 силовых постоянных (гармонич., кубич. и квартичных) молекулы хлорциана ClCN , а также значения равновесных межъядерных расстояний $\text{Cl}-\text{C}$ и $\text{C}-\text{N}$. Использованы эксперим. данные по частотам переходов и вращательным постоянным. Общий подход к задаче таков же, как и в случае молекулы фторциана (см. пред. реф.), хотя существование двух изотопов хлора обеспечивает наличие большего числа доступных эксперим. данных. Отмечено, что для ClCN резонанс Ферми частот v_1 и $2v_3$ значительно сильнее, чем у фторциана, что позволяет проверить применимость использованного силового поля.

А. В. Немухин

д. 1079, N12

CCN

1979

obj.:
gromoxenus
cneumonoides

Ashfold et al.
J. Curr. Chem. 1979,
86, 1-90.



cell. H₂O - irr.

Отмиска 8266

1979

СРСН

З Б231. Измерение квадрупольного взаимодействия Cl и N в CICN. Socley C. D., Fry H. A., Kuklich S. G. Measurement of Cl and N quadrupole coupling in CICN. «J. Mol. Spectroscopy», 1979, 75, № 3, 447—453 (англ.)

Исследована СТС переходов $J=1 \leftarrow 0$ и $J=2 \leftarrow 1$ молекул $^{35}\text{CICN}$ и $^{37}\text{CICN}$. Получены след. значения вращательной постоянной B и параметров сверхтонкого взаимодействия $egQ(\text{Cl})$, $C(\text{Cl})$, $egQ(\text{N})$, $C(\text{N})$ указанных молекул (в мГц): $^{35}\text{CICN}$ — 5970,820, —83,26, —0,006, —3,59, 0,013; $^{37}\text{CICN}$ — 5847,246, —65,61, —0,004, —3,16, 0,010.

В. М. Ковба

Х. 1980.11.3

CCN

OMNICK 8266

1949

91: 11577y Measurement of chlorine and nitrogen quadrupole coupling in cyanogen chloride. Cogley, C. D.; Fry, H. A.; Kukolich, S. G. (Dep. Chem., Univ. Arizona, Tucson, AZ 85721 USA). *J. Mol. Spectrosc.* 1979, 75(3), 447-53 (Eng). $J = 1 \leftarrow 0$ And $J = 2 \leftarrow 1$ transitions in $^{35}\text{ClCN}$ and $^{37}\text{ClCN}$ were measured using a C-band waveguide spectrometer and phase-locked sources. Parameters obtained from the data are: $B(^{35}\text{ClCN}) = 5970.820 \pm 0.010$ MHz, $B(^{37}\text{ClCN}) = 5847.246 \pm 0.008$ MHz, $eqQ(^{35}\text{Cl}) = -83.26 \pm 0.04$ MHz, $eqQ(^{37}\text{Cl}) = -65.61 \pm 0.04$ MHz and $eqQ(^{14}\text{N}) = -3.60 \pm 0.08$ MHz.

Mr. H.

C.A. 1949, 91, N2

ClCN

Октябрь 8266

1979

1Д417. Измерение квадрупольного взаимодействия Cl и N в ClCN. Measurement of Cl and N quadrupole coupling in ClCN. Cogley C. D., Fry H. A., Kuklich S. G. «J. Mol. Spectrosc.», 1979, 75, № 3, 447—453 (англ.)

Исследованы параметры сверхтонкого расщепления вращательных линий $J=1 \leftarrow 0$ и $J=2 \leftarrow 1$ газообразного ClCN, приведены таблицы частот отдельных компонент. Определены вращательные постоянные B и параметры квадрупольной связи $eqQ(Cl)$ и $eqQ(N)$, равные для $^{35}\text{ClCN}$: $B = 5970,820(10)$, $eqQ(Cl) = -83,26(6)$, $eqQ(N) = -3,59(8)$ Мгц, а для $^{37}\text{ClCN}$: $B = 5847,246(8)$, $eqQ(Cl) = -65,61(6)$, $eqQ(N) = -3,61(8)$ Мгц. Найденные значения параметров хорошо согласуются с менее точными значениями, полученными ранее.

Н. Филиппов

Ф. 1580. N 1

Cl-CN

BrCN

JCN

спектр поглощ.

(+2)

2. 1980. VII

12 Б1319. Фотодиссоциационная спектроскопия циан-галоидов в вакуумной ультрафиолетовой спектральной области. Macpherson Martyn T., Simons John P. Photodissociation spectroscopy of the cyanogen halides in the vacuum ultraviolet. «J. Chem. Soc. Faraday Trans.», 1979, Part 2, 75, № 11, 1572—1592 (англ.)

Проведены исследования оптич. спектров поглощения соединений типа XCN (где X=Cl, Br, J) в области 120—180 нм, спектров возбуждения фотофрагмента $CN(B^2\Sigma^+)$, его относит. квантовых выходов и поляризации флуоресценции в переходе $CN(B^2\Sigma^+ \rightarrow X^2\Sigma^+)$ в зависимости от длины волны. Отождествление спектров осложняется неопределенностями в схемах связи моментов кол-ва движения и трудностями предсказания ожидаемого числа и природы оптически возбуждаемых электронных состояний. Спектры ридберговских состояний BrCN при $\lambda > 126$ нм, ClCN при $\lambda > 122$ нм и HCN при 105—130 нм обнаруживают большое сходство, указывающее на связь элементов кол-ва движения типа A,s-связи. Однако спектр JCN в области кратких длин волн обнаруживает существенные отличия, обусловленные сильным спин-орбитальным взаимодействием и тен-

денцией перехода к (Ω_c, ω) -связи, к-рая повышает число оптически достижимых ридберговских состояний. Другой осложняющий фактор состоит в сильной зависимости интенсивности ридберговских состояний от перекрывания ридберговской электронной волновой функции с внутренними электронными оболочками. Когда ридберговские состояния наложены на континуум с симметрией, допускающей взаимодействие с этими дискретными состояниями, происходит взаимное возмущение дискретных и континуумных уровней, приводящее к появлению антирезонансов, к-рые проявляются в спектре в виде провалов или др. особенностей структуры. В исследованных молекулах состояния B и C возникают в перпендикулярных переходах в подсостояния ${}^3\Pi(^{3/2}, ^{1/2})_1$ и ${}^1\Pi(^{1/2}, ^{1/2})_1$ ридберговских состояний $2\pi \rightarrow n\sigma$. В ClCN обнаружен новый переход внутривалентного типа $6\sigma \rightarrow 3\pi$, аналогичный переходу системы полос $C^1A^1 \leftarrow X$ в спектре HCN. В ClCN и BrCN ряд коротковолновых полос приписан ридберговским состояниям; некоторые из них имеют изогнутую форму, обусловленную возмущениями под действием внутривалентных состояний. Эти ридберговские состояния связаны с электронными переходами с орбит, к-рые имеют связывающий характер.

В. Е. Скурат

CCCN

Lennard-Jones

1980

Chemical
Complexes,
Hetero-
molecules,
metals.

Physics, M

Mass Spectrom. molecular-beam
in electric-resonance
Study of ...

Kiravite et al.;
et al.

Chem. Phys., 1980, 45,

387 - 92.

CCCV Lomnicka 10359 | 1980.

CCNC Schmiedekanip v.
et al.

habitat.
environ.
act. soet.
kloven.
faeces

J. Mol. Smeets, 1980,
67, 107 - 119

7 Д596. Энергетическое распределение продуктов фотодиссоциации. Исследование селективных состояний циангалоидов. Energy partitioning in photodissociation: state selective studies of the cyanogen halides. Ashfold Michael N. R., Georgiou Andreas S., Quinton Alan M., Simons John P. «J. Chem. Soc. Faraday Trans.», 1981, Part 2, 77, № 2, 259—271 (англ.)

На основании исследования поляризованной флуоресценции фотофрагментов выполнен систематич. анализ ВУФ-спектров поглощения молекул CICN, BrCN и JCN. Исследовано колебательное и вращательное распределения энергии образующихся при диссоциации радикалов CN ($A^2\Pi$ и $B^2\Sigma^+$). Возбуждение в диссоциационный континуум и в преддиссоциационные полосы приводит к значительным различиям в энергетич. распределениях радикалов. Показано, что обобщенный франк-кондоновский подход качественно правильно описывает процесс диссоциации. Обсуждены эксперим. трудности, связанные с получением информации о вращательном распределении продуктов фотодиссоциации. Библ. 41.

В. А. Е.

CCN
BrCN
JCN

спектр
поглощ.

☒

9.1981.№7

Омск 11163

1981

СССР

Омск 11.614

1981

18 Б183. Молекулярные ридберговские переходы.
Хлорид циана. FeIps W. S., McGlynn S. P., Fin-
dley G. L. Molecular Rydberg transitions. Cyanogen
chloride. «J. Mol. Spectrosc.», 1981, 86, № 1, 71—85
(англ.)

В области 2200—1250 Å измерены электронные спек-
тры поглощения газообразного хлорида циана ($p \sim 0,02$ —
20 мм). Использовалась проточная система с предв. уда-
лением возможных примесей (CO_2 , Cl_2 , HCl , CH_3Cl ,
 $\text{C}_2\text{H}_5\text{Cl}$). На основании данных по фотоэлектронным
спектрам и результатам расчетов (схема Малликена —
Вольфсберга — Гельмгольца, ППДП/1, ППДП/2) дана
схема MO и переходов для CICN . Наблюданная в
спектре широкая бесструктурная полоса в области 1800
($\lambda_{\max} = 1775$ Å, осцилляторная сила $f = 6,47 \times 10^{-3}$) от-
несена к валентному переходу $\pi - \sigma^*$. Полоса в области
1450 Å с разрешенной колебательной структурой (v_1, v_2)
связана с возбуждением типа $\pi_2 - \pi^*$. Согласно теории
(МВГ, ППДП), такой переход сопровождается измене-
нием длины связи C—Cl и активностью колебания v_1 . Учитывая проявление в спектре колебательной структу-
ры, связанной с v_2 , и величину f , полоса отнесена к пе-

4,12; 9,
20.04.81

Х 1981 N 18

переходам $X^1\Sigma \pm ^1\Sigma$ и $X^1\Sigma \pm ^1\Delta$, причем в возбужденных состояниях молекула имеет изогнутую конфигурацию. Полоса 1427 Å отнесена к первому ридберговскому *s*-переходу $X^1\Sigma \pm ^3\Pi_1$. В интервале 1410—1300 Å выделено, по крайней мере, два перехода с разрешенной колебательной структурой: компонента первого ридберговского *s*-перехода $X^1\Sigma \pm ^1\Pi_1$ и неидентифицированный валентный переход. Переход в области 1340—1270 Å предварительно интерпретирован как валентный $X^1\Sigma \pm ^1\Pi_1$ ($\sigma-\pi^*/\pi-\sigma^*$). Ридберговские переходы *p*-типа наблюдались в диапазоне 1290—1250 Å. Значения энергий (E), частот колебаний (в см^{-1}), сил осцилляторов эффективных квантовых чисел (n^*) и квантовых дефектов (f): состояние $^1\Sigma$, $^1\Delta$ (вал.) — 68 650, $v_1=665$, $v_2=300$, f (полная) $1,53 \cdot 10^{-2}$; состояние $^3\Pi_1$ (*S* — ридб.) — 70 075, $v_3=1990$, $f=3,44 \cdot 10^{-5}$, $n^*=1,93$, $\delta=0,93$; состояние $^1\Pi_1$ (*S* — ридб.) — 71 385, $v_1=640$, $v_2=315$, $v_3=1950$, $f=1,33 \cdot 10^{-3}$ (E и f для отдельных полос колебательной структуры — $E(2_1^0)=71\ 020$, $f=2,75 \cdot 10^{-5}$, $E(2_0^1)=71\ 680$, $f=2,99 \times 10^{-4}$, $E(3_0^1)=73\ 330$, $f=2,23 \cdot 10^{-3}$, $E(2_0^13_0^1)=73\ 600$, $f=4,13 \cdot 10^{-5}$, $E(1_0^13_0^1)=73\ 960$, $f=7,99 \cdot 10^{-4}$), f (полная) $=4,5 \cdot 10^{-3}$, $n^*=1,97$, $\delta=0,97$; состояние $^1\Pi_1$ (вал.) $=74\ 450$, $v_1=650$, $v_3=1870$, $f=3,85 \cdot 10^{-3}$ (для полосы 30 1 — $E=76\ 320$, $f=3,45 \cdot 10^{-3}$), f (полная) $=1,10 \cdot 10^{-2}$; состояние $^1\Pi_1$ (*p* — ридб.) $=78\ 100$, $v_1=670$, $v_2=280$, $v_3=1875$, f (полная) $=8,62 \cdot 10^{-2}$, $n^*=2,26$, $\delta=1,26$; состояние с энергией 79 755 см^{-1} (*p* — ридб. или вал, последнее более вероятно) — $f=1,5 \cdot 10^{-1}$, $n^*=2,34$, $\delta=1,34$. Полученные результаты сопоставляются с данными по ридберговским *s*-состояниям молекул CH_3Cl , HCl , HCN .

В. М. Ковба

СССР

Омск 11.11.1981

10 Д431. Молекулярные ридберговские переходы:
ClCN. Molecular Rydberg transitions. Cyanogen chloride.
Felps W. S., McGlynn S. P., Findley G. L.
«J. Mol. Spectrosc.», 1981, 86, № 1, 71—85 (англ.)

Спектр поглощения молекулы ClCN исследован в области 1250—2200 Å. Идентифицированы первые ридберговские S -переходы: $\bar{X}^1\Sigma^+ - {}^3\Pi_1$ и $\bar{X}^1\Sigma^+ - {}^1\Pi_1$ и определены параметры обменного и спин-орбитального взаимодействия. Относит. интенсивности этих двух переходов согласуются с предположением о промеж. типе связи. Обсуждены валентные $\Pi \rightarrow \Pi^*$ -переходы в состояния ${}^1, {}^3(\Sigma^-, \Delta \text{ и } \Sigma^+)$. Показано, что одно или оба ${}^1\Sigma$ и ${}^1\Delta$ -состояния имеют изогнутую геометрию. Состояние ${}^1\Sigma^+$ предположительно локализовано при $79\,755 \text{ см}^{-1}$. Полосы $56\,340$ и $74\,450 \text{ см}^{-1}$ приписаны переходам $\sigma \rightarrow \Pi^*$ и $\pi \rightarrow \sigma^*$. Библ. 23.

М.Н.

Ф. 10.1981

CCCN

Lommeca 11378

1981.

Líska M., et al.

J. Mol. Struct., 1981.

72, 177-81.

MIN.

1981

CICN

Молекул.
Ридберг.
переходы

7 Д550. Молекулярные ридберговские переходы. Переход $\pi \rightarrow 4s$ молекулы CICN. Molecular Rydberg transitions. The $\pi \rightarrow 4s$ transition of CICN. McGlynn S. P., Felps W. S., Findley G. L. «Chem. Phys. Lett.», 1981, 78, № 1, 89—92 (англ.)

С целью устранения имеющихся разногласий в отношении полос спектра поглощения молекулы CICN, первый ридберговский s -переход проанализирован с точки зрения возможных значений эффективного квантового числа, силы осциллятора и параметров модели промеж.

связи. Показано, что отношение сил осцилляторов $f(\tilde{X}-B)/f(\tilde{X}-C)$ может быть очень малым (вплоть до 10^{-2}). Последнее является доводом в пользу одного из предложенных ранее отнесений полос в области первого ридберговского s -перехода молекулы CICN.

В. С. Иванов



Ф.1981.НЧ

1981

12 Б180. Молекулярные ридберговские переходы.
 Переход π -4s ClCN. McGlynn S. P., Felps W. S.,
 Findley G. L. Molecular rydberg transitions. The
 $\pi \rightarrow 4s$ transition of ClCN. «Chem. Phys. Lett.», 1981,
 78, № 1, 89—92 (англ.)

Обсуждается полученный авторами ранее спектр ClCN и его отнесение в области первого ридберговского S -перехода $\pi^4 X^1\Sigma^+ - \pi^3\sigma(4s)^1,3\Pi$ ($70\,000 - 77\,000 \text{ см}^{-1}$). Рассматриваются энергии B и C состояний (v), энергии ионизации (I), эффективные квантовые числа ($n^* = [(I_{\text{т}} - v)/R]^{-1/2}$), силы осцилляторов (f) и параметры модели промежут. связи (ξ , K — соотв., интегралы спин-орбитального взаимодействия и обменный). Приведены аналогичного рода данные по молекулам ICN и BrCN. Показано, что отношение $f(B-X)/f(C-X)$ должно быть порядка 10^{-2} . В. М. Ковба

Синтез,
 Радиат.
 переходы

Х. 1981. № 2

CCCN

Lemmaica 12128 | 1981.

Person W.B., et al.

KB. ILLX.

part

Kalzot.

CB-B.

J. Phys. Chem., 1981, 85,
1998-2004.

Part I

ClCN

1982

ЗД653. Распределение избыточной энергии при фотолизе цианистого хлора и цианистого брома под действием излучения с длиной волны 193 нм. Partitioning of excess energy in the photolysis of cyanogen chloride and cyanogen bromide at 193 nm. Halpern Joshua B., Jackson William M. «J. Phys. Chem.», 1982, 86, № 18, 3528—3533 (англ.)

С помощью метода индуцированной лазером флуоресценции измерены распределения заселенностей вращательно-колебательных уровней фрагментов $\text{CN}(X^2\Sigma^+)$, образующихся при фотодиссоциации ClCN и BrCN под действием излучения ArF-лазера (193 нм). Показано, что в возбужденном электронном состоянии из которого идет диссоциация, молекулы ClCN и BrCN являются изогнутыми, а образование фотофрагментов Сп сопровождается их сильным вращательным возбуждением. Предложена параметризация, основанная на квазиклассич. модели, позволяющая описать наблюдаемые вращательные распределения CN путем введения только двух параметров. Библ. 18.

А. В. Н.

BrCN, CN

*Ф. 1983, 18,
№ 3*

(+2)

CCN

[Omnibus 15883]

1982

Johri G. K., Gupta S.,
et al.,

YB cnekrmp

Indian. J. Pure and
Appl. Phys., 1982, 20,
508-509.

Cl CN

OM · 18144

1983

8 Б1228. Прямые *l*-дублетные переходы в состоянии 01¹0 хлорциана и бромциана. Direct *l*-doublet transitions in the 01¹0 state of cyanogen chloride and cyanogen bromide. Cazzoli G., Cervellati R., Lister D. G., Damiani D., Degli Esposti C. «J. Mol. Spectrosc.», 1983, 101, № 1, 94—103 (англ.)

На радиоспектрометре со штарковской модуляцией измерены в области частот 4—22 ГГц с точностью лучше, чем 0,05 МГц, МВ-спектры прямых *l*-дублетных переходов в состоянии 01¹0 двух изотопич. образцов хлорциана, ³⁵Cl¹²C¹⁴N (I) и ³⁷Cl¹²C¹⁴N (II), и двух образцов бромциана, ⁷⁹Br¹²C¹⁴N (III) и ⁸¹Br¹²C¹⁴N (IV). Анализ спектров выполнен с учетом эффектов *l*-удвоения нулевого 1- и 2-го порядков по угловому моменту, а также галоген-ядерных квадрупольных взаимодействий. Для I—IV, соотв., определены постоянные *l*-удвоения $q^0 = 7,46751(1)$, $7,17304(3)$, $3,91420(1)$ и $3,87142(2)$ МГц, $q^1 = -13,45(1)$, $-12,67(3)$, $-5,313(6)$ и $-5,223(9)$ Гц, $q^2 = 50(2)$, $59(6)$, $20,3(8)$ и $21(1)$ мкГц и параметры асимметрии тензора галоген-ядерного квадрупольного

(4A)

X. 1984, 19, n8

Br CN

взаимодействия $\eta eQq_z = -0,83(2), -0,62(4), 6,55(3)$ и $5,46(4)$ МГц. Полученные значения q^0 для всех образцов, за исключением III, несколько выше соотв. величин, полученных из переходов R -ветви, что связано с пренебрежением членом q^1 при выводе q^0 из переходов R -ветви. Постоянные l -удвоения q^1 , вычисленные из данных о колебательном силовом поле, в пределах 10% согласуются с эксперим. значениями. При этом вклад в q^1 от гармонич. члена для всех образцов составляет приблизительно 50% от величины q^1 . Параметры асимметрии тензора квадрупольного взаимодействия, вычисленные при учете кинематич. эффекта на основе модели, в к-рой тензор предполагается цилиндрически симметричным относительно связи углерод — галоген и постоянным во время изгибного колебания, согласуются с эксперим. значениями в случае I, II и несколько хуже согласуются в случае III, IV. С. Н. Мурзин

CCN

Am. 18144

1983

99: 148847w Direct *l*-doublet transitions in the 01'0 state of cyanogen chloride and cyanogen bromide. Cazzoli, Gabriele; Cervellati, Rinaldo; Lister, David G.; Damiani, Damiano; Esposti, Claudio Degli (Ist. Spettrosc. Mol., CNR, 40126 Bologna, Italy). *J. Mol. Spectrosc.* 1983, 101(1), 94-103 (Eng). Direct *l* doublet transitions were obsd. for the 01'0 state of $^{35}\text{Cl}^{12}\text{C}^{14}\text{N}$ and $^{37}\text{Cl}^{12}\text{C}^{14}\text{N}$ and $^{79}\text{Br}^{12}\text{C}^{14}\text{N}$ and $^{81}\text{Br}^{12}\text{C}^{14}\text{N}$ at 4-22 GHz. The *l*-doubling consts. (q^0 , q^1 , q^2) and the asymmetry parameters (ηeQq_s) of the halogen nuclear quadrupole coupling tensors were derived. The consts. q^1 were calcd. from the vibrational force fields of D. H. Whiffen (1978) for the 4 cyanogen halides using the formulation of J. K. G. Watson (1983). Agreement with the obsd. values is 10% or better and for cyanogen fluoride and cyanogen chloride the isotopic shifts in q^1 are also predicted.

l-ghosts

C.A. 1983; 99, N 18

ClCN

1983

5 Л192. Прямые переходы между компонентами l -удвоения в состоянии 01^10 цианистого хлора и цианистого брома. Direct l -doublet transitions in the 01^10 state of cyanogen chloride and cyanogen bromide. Cazzoli Gabriele, Cervellati Rinaldo, Lister David G., Damiani Damiano, Degli Esposti Claudio. «J. Mol. Spectrosc.», 1983, 101, № 1, 94—103 (англ.)

М.Н.

В диапазоне 4—22 ГГц исследованы микроволн. спектры молекул $^{35}\text{ClCN}$ с $n=35$ и 37 и $^{79}\text{BrCN}$ с $n=79$ и 81 . Идентифицированы линии прямых переходов между компонентами l -удвоения вращательных уровней с $J < 57$ первого возбужденного состояния деф. кол., а также квадрупольная сверхтонкая структура линий. Частоты линий описываются ф-лой

оф. 1984, 18, № 5

$$v = q^{(0)}J(J+1) + q^{(1)}J^2(J+1)^2 + q^3J^3(J+1)^3 + \eta eQq_z Y(J, F),$$

где $Y(J, F)$ — ф-ция Казимира, а последний член описывает асимметрию тензора квадрупольной связи ядра галогена. Определены значения параметров l -удвоения ($q^{(n)}$) и квадрупольной связи. Выполнен расчет $q^{(1)}$ по известным значениям кубич. коэф. ангармоничности по ф-ле Уотсона: расхождения между измеренными и вычисленными значениями $q^{(1)}$ не превосходят 10%.

М. Р. Алиев

CCCN

1983

Krözinger F., Witter-
beck R.

Crekup
Ber. Bunsenges. phys.

Maupin Chem., 1983, 87, N2,
149 - 154.

(ed. H(D)CCN; III)

CCN

[07.20765]

1984

Burdett J.K., Lawrence N.Y.,
et al.,

Электро-
импульсам.,
Структура
и

Inorg. Chem., 1984, 23,
N 16, 2419 - 2428.

Сб. 36 В

1104-1AХ.

BrCN

[Om. 20765]

1984

Burdett J.K., Lawrence N.Y.,
et al.,

Inorg. Chem., 1984, 23,
N 16, 2419 - 2428.

Электро-
оптическ.,
структур
и CB36
в молек.

CLCN

1984

6 Л254. Влияние электронного и ядерного спина на ориентацию фотофрагментов. Применение к диссоциации C1CN при 157,6 нм. Influence of electron and nuclear spin on photofragment alignment. Application to C1CN dissociation at 157.6 nm. Guest J. A., O'Halloran M. A., Zare R. N. «Chem. Phys. Lett.», 1984, 103, № 4, 261—265 (англ.)

диссоциация

Показана необходимость учета деполяризационных эффектов ядерного и магн. спина фотофрагментов при анализе вращательно-разрешенных спектров излучения CN, образующихся при фотодиссоциации C1CN. При учете этих эффектов обнаружена анизотропия квадрупольного момента вектора ядерного вращения N' для $B^2\Sigma^+$ -состояния CN, что указывает на то, что диссоциация C1CN происходит посредством прямого механизма, не зависящего от вращения. Библ. 18.

А. В. Головин

оф. 1984, 18, № 6

CLCN

(OM. 20666)

1984

Lee R., Kalpera J.B.,
Jackson W. et.,

Помогите
составить.
Библиография.
Нурке.

J. Phys. Chem., 1984,
88, N16, 3419-3425.

CCN

DM. 20365

1984

2 Д109. Влияние заместителей в ряду цианидов CICN, BrCN, NaCN и KCN. Исследование спектров ионизации валентных оболочек методом функций Грина. The effect of the substituent in the cyanide series CICN, BrCN, NaCN and KCN: A Green's-function approach to the valence ionization spectra. Von Niessen W., Cambi R. «J. Electron Spectrosc. and Relat. Phenom.», 1984, 34, № 3, 291—304 (англ.)

Неэмпирическим методом ф-ций Грина в больших базисах сгруппированных гауссовых ф-ций рассчитаны потенциалы ионизации валентных электронов для CICN, BrCN, NaCN и KCN. Использована эксперим. геометрия. Для сравнения также рассмотрены линейные NaCN и KCN и изоцианиды LiNC и NaNC. Обнаружено, что при замещении H на более электроотрицательные Cl и Br потенциал ионизации орбитали неподеленной электронной пары атома N не изменяется, что обусловлено локализованным характером этой орбитали; в то же время при замене на Na и K ввиду ионного характера связи происходит значительный перенос заряда на группу CN, приводящий к значительному уменьшению всех потенциалов ионизации. Библ. 18. В. Л. Л.

9. мор.
рассел

18

(13)

Ф. 1985, 18, № 2

ACN

Он 20365

1984

3 Б1155. Влияние заместителя в рядах цианидов CICN, BrCN, NaCN и KCN. Применение метода функции Грина для расчета спектров ионизации валентных оболочек. The effect of the substituent in the cyanide series CICN, BrCN, NaCN and KCN: a Green's-function approach to the valence ionization spectra. Von Niesen W., Cambi R. «J. Electron Spectrosc. and Relat. Phenom.», 1984, 34, № 3, 291—304 (англ.)

Многочастичным методом функции Грина (МФГ) рассчитаны энергии ионизации (ЭИ) молекул CICN, BrCN, ~~NaCN и KCN~~ при эксперим. значениях структурных параметров. С целью изучения влияния заместителей на электронное строение и фотоэлектронные спектры (ФЭС) аналогичные расчеты спектров ЭИ проведены также для линейных конфигураций молекул NaCN и KCN, а также изоцианидов LiNC и NaNC. Сопоставление ЭИ CICN и BrCN с ЭИ HCN показало, что замена атома Н на атомы галогенов в ряду молекул XCN не приводит к сдвигу энергии MO неподеленной

(43)

X. 1985, 19, N3.

пары азота n_N . Совершенно другая картина наблюдается в спектре ЭИ NaCN и KCN, где большой перенос заряда от атомов M к группе CN приводит к существенному сдвигу всех линий ФЭС в область низких значений ЭИ. В NaCN и KCN по сравнению с ClCN и BrCN верхние занятые MO имеют различную симметрию. Отличающиеся электроотрицательности атомов X и M и соотв. перенос заряда приводят к различной локализации орбиталей подсистемы CN в молекулах XCN и MCN. В молекулах XCN имеется MO неподеленной пары азота n_N , тогда как в MCN такая MO отсутствует. В то же время π -орбитали в молекулах XCN распределены по всем атомам, тогда как в молекулах MCN они локализованы в основном на группе CN.

CCN

1985

Boyd Russell J.,
Choi Sai Cheng.

reodemp,
empykm.

Chem. Phys. Lett., 1985,
120, N1, 80-85.

(CCN. HF; III)

ClCN⁺

1985

2 Д331. Безызлучательные переходы и мономолекулярная диссоциация ионов ClCN^+ , BrCN^+ и JCN^+ в возбужденных электронных состояниях. Nonradiative transitions and unimolecular dissociation of excited electronic states of ClCN^+ , BrCN^+ , and JCN^+ . Braibart O., Castellucci E., Dujardin G., Leach S. «J. Phys. Chem.», 1985, 89, № 15, 3252—3260 (англ.)

*Безызлучательные
переходы*

С помощью методов фотоэлектрон-фотоионного совпадения и фотоион-фотонного совпадения исследована радиационная и безызлучательная релаксация электронно-возбужденных ионов ClCN^+ , BrCN^+ и JCN^+ , получаемых при фотоионизации молекул ClCN , BrCN и JCN излучением с $\lambda=584 \text{ \AA}$ от гелиевой или неоновой ламп. Обнаружено, в частности, что релаксация состояния $B^2\Pi$ происходит по биэкспоненц. закону. Изучена также диссоциативная ионизация указанных молекул XCN ($\text{X}=\text{Cl}, \text{Br}, \text{J}$), в частности, фрагментация по каналам X^++CN , CX^++N и CN^++X .

(f2)

Б. Ф. Гордиц

cf. 1986, 18, N 2

ClCN⁺

1985

103: 61851v Nonradiative transitions and unimolecular dissociation of excited electronic states of cyanogen chloride(1+) (ClCN^+), cyanogen bromide(1+) (BrCN^+), and cyanogen iodide(1+) (ICN^+). Braibart, O.; Castellucci, E.; Dujardin, G.; Leach, Sydney (Lab. Photophys., Univ. Paris-Sud, 91405 Orsay, Fr.). *J. Phys. Chem.* 1985, 89(15), 3252-60 (Eng). Radiative and nonradiative relaxation processes of electronic excited states of ClCN^+ , BrCN^+ , and ICN^+ formed by He I and Ne I lamp excitation were studied by photoelectron-photoion and photoion-fluorescence photon (PIFCO) coincidence techniques. The $B^2\Pi$ states of these ions fluoresce with an intrinsic biexponential decay. The results are interpreted in terms of the small mol., resonance limit model of radiationless transitions. Av. values of the interelectronic state mixing coeffs. and coupling matrix elements are detd. Morse function sections of the potential energy surfaces of the $X^2\Pi$, $A^2\Sigma^+$, and $B^2\Pi$ states of the representative ion ClCN^+ are calcd. and are shown to be propitious for B state relaxation via interelectronic interactions. Dissociative ionization processes of the XCN^+ species are also studied, in particular fragmentation into the 3 channels $\text{X}^+ + \text{CN}$, $\text{CX}^+ + \text{N}$, and $\text{CN}^+ + \text{X}$. Electronically excited CN radicals are detected in He I excited dissociative ionization of BrCN and ICN .

No Molecules. ϕ -Hul

$\tilde{\chi}^2\Pi$, $\tilde{\Lambda}^2\Sigma^+$,

$B^2\Pi$

C. A. 1985, 103, N 8

ClCN⁺

DM. 22507

1985

7 Б1200. Спектры испускания катионов галоцианидов, $X\text{CN}^+$ ($X=\text{Cl}, \text{Br}, \text{J}$), охлажденных в сверхзвуковой струе. Системы полос $A^2\Sigma^+ \rightarrow X^2\Pi$ и $\tilde{B}^2\Pi \rightarrow \tilde{X}^2\Pi$. Emission spectra of supersonically cooled halocyanide cations, $X\text{CN}^+$ ($X=\text{Cl}, \text{Br}, \text{J}$): $A^2\Sigma^+ \rightarrow \tilde{X}^2\Pi$ and $\tilde{B}^2\Pi \rightarrow \tilde{X}^2\Pi$ band systems. Fularga J., Klapstein D., Kuhn R., Maier J. P. «J. Phys. Chem.», 1985, 89, № 20, 4213—4219 (англ.)

Измерены спектры испускания катионов $X\text{CN}^+$ ($X=\text{Cl}, \text{Br}, \text{J}$), охлажд. в сверхзвуковой струе. Спектры возбуждали электронным ударом. Наблюдали полосы переходов $\tilde{A}^2\Sigma^+ \rightarrow \tilde{X}^2\Pi_{\Omega}$ и $\tilde{B}^2\Pi_{\Omega} \rightarrow \tilde{X}^2\Pi_{\Omega}$ ($\Omega=1/2, 3/2$). Выполнен анализ колебат. структуры переходов. Положение полос O_0^0 и частоты колебаний молекул (в см^{-1}): $\text{ClCN}^+ - v(O_0^0, \tilde{A} \rightarrow \tilde{X}^2\Pi_{3/2}) = 11\,690, v(\tilde{A} \rightarrow \tilde{X}^2\Pi_{1/2}) = 11\,414, v(\tilde{B}^2\Pi_{3/2} \rightarrow \tilde{X}^2\Pi_{3/2}) = 22\,220, v(\tilde{B}^2\Pi_{1/2} \rightarrow \tilde{X}^2\Pi_{1/2}) = 22\,307$; состояние $\tilde{X}^2\Pi_{3/2} - v_1 = 823, v_3 = 1916, A = -276$ (постоянная спин-орбитального рас-

дн-н.

(2) 18

X. 1986, 19, IV 2.

BrCN⁺, JCN⁺

щепления); состояние $\tilde{X}^2\Pi_{1/2}$ — $v_1=827$, $v_3=1924$; состояние $\tilde{A}^2\Sigma^+$ — $v_1=774$; состояние $\tilde{B}^2\Pi_{3/2}$ — $v_1=525$, $A=-363$, состояние $\tilde{B}^2\Pi_{1/2}$ — $v_1=526$; BrCN+— $v(\tilde{A}-\tilde{X}^2\Pi_{3/2})=13\,698$, $v(A-\tilde{X}^2\Pi_{1/2})=12\,220$, $v(\tilde{B}^2\Pi_{3/2}-\tilde{X}^2\Pi_{3/2})=19\,232$; состояния $X^2\Pi_{3/2}$ — $v_1=650$, $v_2=288$, $v_3=1906$, $A=-1477$; состояние $A^2\Sigma^+$ — $v_1=584$, $v_2=421$, $v_3=1930$; состояние $\tilde{B}^2\Pi_{3/2}$ — $v_1=471$, $v_2=394$, $v_3=1939$; JCN+— $v(\tilde{A}-\tilde{X}^2\Pi_{3/2})=18\,262$, $v(\tilde{A}-\tilde{X}^2\Pi_{1/2})=13\,919$, $v(\tilde{B}^2\Pi_{1/2}-\tilde{X}^2\Pi_{1/2})=16\,173$; состояние $\tilde{X}^2\Pi_{3/2}$ — $v_1=535$, $v_2=239$, $v_3=2083$, $A=-4343$, состояние $\tilde{X}^2\Pi_{1/2}$ — $v_1=559$, $v_2=253$; состояние $\tilde{A}^2\Sigma^+$ — $v_2=274$; состояние $\tilde{B}^2\Pi_{1/2}$ — $v_1=473$.

В. М. Ковба

уро
чище

OM 22507 1985

4 Л240. Спектры испускания охлажденных в сверхзвуковой струе катионов галогенцианидов XCN^+ ($X = Cl, Br, I$): системы полос $A^2\Sigma^+ \rightarrow X^2\Pi$ и $B^2\Pi \rightarrow \tilde{X}^2\Pi$. Emission spectra of supersonically cooled halocyanide cations, XCN^+ ($X = Cl, Br, I$): $A^2\Sigma^+ \rightarrow X^2\Pi$ and $B^2\Pi \rightarrow \tilde{X}^2\Pi$. band systems. Fullaga Jan, Klapstein Dieter, Kuhn Robert, Maier John P. «J. Phys. Chem.», 1985, 89, № 20, 4213—4219 (англ.)

В области 11 000—23000 см⁻¹ получены спектры испускания катионов XCN^+ ($X = Cl, Br, I$), образование которых происходило в условиях сверхзвукового пучка под действием электронного удара. В полученных спектрах идентифицированы полосы, отвечающие системам переходов $A^2\Sigma^+ \rightarrow \tilde{X}^2\Pi$ и $B^2\Pi \rightarrow \tilde{X}^2\Pi$. Рассчитаны все колебательные частоты исследованных ионов в состояниях X , A и B с точностью до 2 см⁻¹, а также величины спин-орбитального расщепления состояний X . Отмечена роль глубокого охлаждения ионов в сверхзвуковой струе, позволившего существенно упростить вид спектров. Библ. 28.

М. Т.

XCN^+
($X = Cl, Br, I$)

Рi, III. 11.

о. 1986, 18, № 4

XCN^+

$X = Cl, Br, I$

$A^2\Sigma^+ \rightarrow B^2\Pi$

$B^2\Pi \rightarrow X^2\Pi$

(Oo) 22507 / 1985

103: 186144y Emission spectra of supersonically cooled halo-cyanide cations, XCN^+ ($X = Cl, Br, I$): $A^2\Sigma^+ \rightarrow B^2\Pi$ and $B^2\Pi \rightarrow X^2\Pi$ band systems. Fulara, Jan; Klapstein, Dieter; Kuhn, Robert; Maier, John P. (Inst. Phys. Chem., Univ. Basel, CH-4056 Basel, Switz.). *J. Phys. Chem.* 1985, 89(20), 4213-19 (Eng). The $A^2\Sigma^+ \rightarrow X^2\Pi_{\Omega}$ and $B^2\Pi_{\Omega} \rightarrow X^2\Pi_{\Omega}$ ($\Omega = 3/2, 1/2$) emission band systems of rotationally cooled chloro-, bromo-, and iodocyanide cations were obtained by electron impact excitation of seeded He supersonic free jets. The narrowing of the vibronic bands and particularly the resoln. of the transitions of the individual isotopic species enable a vibrational anal. of most of the spectral features to be made. This leads to almost all the vibrational frequencies ($\pm 2 \text{ cm}^{-1}$) of these cations in their $X^2\Pi$ states, as well as to many values in the $A^2\Sigma^+$ and $B^2\Pi$ states. The spin-orbit splittings in the $X^2\Pi$ states are also obtained, for $X = Cl$ also in the $B^2\Pi$ state, and better values for the higher ionization energies are given by combining the data of the present emission spectra with those from photoelectron spectroscopy.

c.A.1985, 103, N 2/2

ClCN^+

DT. 23.819 1985

11 Б1187. Спектры электронного поглощения ClCN^+ , BrCN^+ и JCN^+ в матрицах из неона. The electronic absorption spectra of ClCN^+ , BrCN^+ , and JCN^+ in neon matrices. Leutwyler S., Maier J. P., Spittel U. «J. Chem. Phys.», 1985, 83, № 2, 506—510 (англ.). Место хранения ГПНТБ СССР

Измерены электронные спектры поглощения ионов ClCN^+ , BrCN^+ и JCN^+ , изолированных в матрицах из Ne при 4,5 К. Молекулярные ионы генерировали в матрицах, содержащих молекулы ClCN , BrCN и JCN , посредством ионизации резонансной линией с энергией 16,6/16,8 эВ неоновой разрядной лампы. В спектрах наблюдали прогрессии, связанные с переходами $\tilde{B}^2\Pi_{3/2} \rightarrow \tilde{X}^2\Pi_{3/2}$ в исследуемых ионах. Отмечено, что существенное упрощение спектров по сравнению с газ. фазой связано с быстрой колебат. релаксацией на нулевой колебат. уровень нижней спин-орбитальной компоненты основного состояния и проявлением переходов только с этого уровня. Выполнен анализ колебат.

Л.Л.

↗ (f2)

X. 1987, 19, N 11

струкутуры наблюдаваемых систем полос и определены частоты колебаний в возбужденных состояниях (см^{-1}): $\text{ClCN}^+ - v_1 = 539 \pm 4$, $\text{BrCN}^+ - v_1 = 478 \pm 10$, $v_2 = 377 \pm 10$, $v_2 = (1830 \pm 10)$, $\text{JCN}^+ - v_1 = 400 \pm 20$. В случае JCN^+ определено положение нулевого перехода в системе $A^2\Sigma^+ - X^2\Pi_{3/2} - 18\,265 \pm 10 \text{ см}^{-1}$.

С. Б. Осин

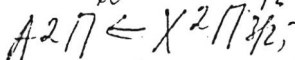
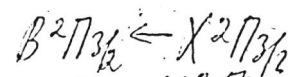


ClCN^+

(Pm. 23819)

1985

103: 131545z The electronic absorption spectra of chlorocyanide (ClCN^+), bromocyanide (BrCN^+), and iodocyanide (ICN^+) ions in neon matrixes. Leutwyler, Samuel; Maier, John P.; Spittel, Uta (Inst. Phys. Chem., Univ. Basel, CH-4056 Basel, Switz.). *J. Chem. Phys.*, 1985, 83(2), 506-10 (Eng). The optical absorption spectra of the $B^2 \Pi_{3/2} \leftarrow X^2 \Pi_{3/2}$ transitions of chloro-, bromo-, and iodocyanide cations in Ne matrixes at 4.5 K were obtained and vibrationally analyzed. The origin band of the $A^2 \Sigma^+ \leftarrow X^2 \Pi_{3/2}$ transition of ICN^+ was obsd. as well as the absorption bands of the CN radical in the spectra of ClCN^+ and BrCN^+ . These features and the vibrational frequency data are discussed.



Ac;

C.A. 1985, 103, N16.

CLCN.

1985

Zhang Rite:

УК ерекмп
бүсөкөрө
пазревеен.
б. макропус
(одзоп)

Wuli 1985, 14 (2),
127, 114.

(вид: HCN; 111)

ClCN⁺

1986

6 Б1252. Спектр лазерного возбуждения перехода $\tilde{B}^2\Pi - \tilde{X}^2\Pi$ ClCN⁺ в газовой фазе. The $\tilde{B}^2\Pi \leftarrow \tilde{X}_2\Pi$ laser excitation spectrum of ClCN⁺ in the gas phase. Celii Francis G., Fulara Jan, Maier John P., Rösslein Matthias. «Chem. Phys. Lett.», 1986, 131, № 4-5, 325—330 (англ.)

M.N.

В области 365—450 нм с использованием перестраиваемого лазера на красителе измерены спектры возбуждения ионов ClCN⁺ (электронный переход $B^2\Pi - \tilde{X}^2\Pi$), получавшихся в результате пеннинговской ионизации с участием метастабильных атомов Не или Ne, возбужденных в охлаждаемом жидк. азотом эл. разряде. Определены волновые числа начал подсистем $\Omega = 3/2$ и $\Omega = 1/2$ для $^{35}\text{ClCN}^+ - 22514,2$ (0,5) и 22606,2 (0,5) см^{-1} и на основании полученных значений предложена новая интерпретация спектров искусания ClCN⁺ в сверхзвуковом потоке, возбужденных элект-

X. 1987, 19, N6

ронным ударом («J. Phys. Chem.», 1985, 89, 2481). В результате совместного анализа спектров возбуждения и испускания рассчитаны спектроскопич. постоянные для $^{35}\text{ClCN}^+$ (см^{-1}): $X^2\Pi_{3/2}-v_1''=827$ (2), $v_3''=1915$ (2), $A_0''=-276$ (2), $B^2\Pi_{3/2}-v_1'=531,8$ (0,7), $v_2'=303,1$ (0,7), $v_3'=2128,5$ (0,7), $A_0'= -368$ (2),

Юрд.

ClCN⁺

1986

§ 4 Л166. Спектр лазерного возбуждения перехода $\tilde{B}^2\Pi \leftarrow \tilde{X}^2\Pi$ молекулы ClCN⁺ в газовой фазе. The $\tilde{B}^2\Pi \leftarrow \tilde{X}^2\Pi$ laser excitation spectrum of ClCN⁺ in the gas phase. Celii Francis G., Fulara Jan, Maier John P., Rösslein Matthias. «Chem. Phys. Lett.», 1986, 131, № 4—5, 325—330 (англ.)

Получен спектр возбуждения иона $^{35}\text{ClCN}^+$ в области 365—450 нм. Определены пороги возбуждения подполос, связанных с переходами из состояний $\tilde{X}^2\Pi_{3/2}$ и $X^2\Pi_{1/2}$, равные $(22514,2 \pm 0,5) \text{ см}^{-1}$ и $(22606,2 \pm 0,5) \text{ см}^{-1}$ соответственно. С привлечением данных по спектрам возбуждения электронным ударом в сверхзвуковой струе определен ряд спектроскопич. постоянных для изученных состояний.

М. А.

(М.А.)

оф. 1987, 18, № 4

ClCN^+

1986

106: 10755w The $B^2\Pi \leftarrow X^2\Pi$ laser excitation spectrum of cyanogen chloride ion(1+)(ClCN^+) in the gas phase. Celii, Francis G.; Fulara, Jan; Maier, John P.; Roesslein, Matthias (Inst. Phys. Chem., Univ. Basel, CH-4056 Basel, Switz.). *Chem. Phys. Lett.* 1986, 131(4-5), 325-30 (Eng). The laser excitation spectrum of the $B^2\Pi \leftarrow X^2\Pi$ electronic transition in ClCN^+ was obsd. at 365-450 nm. The origins of the $\Omega = 3/2, 1/2$ sub-systems are unambiguously located for $^{35}\text{ClCN}^+$ at 22514.2 (0.5) and 22606.2 (0.5 cm^{-1} , resp. Anal. of the excitation spectrum together with a reinterpretation of the electron-impact emission spectrum of the cation in a supersonic jet yield the following spectroscopic consts. for $^{35}\text{ClCN}^+$ (in cm^{-1}): $X^2\Pi_{3/2}:v''_1 = 827(2)$, $v''_3 = 1915(2)$, $A_0'' = -276(2)$; $B^2\Pi_{3/2}:v'_1 = 531.8(0.7)$, $v'_2 = 303.1(0.7)$, $v'_3 = 2128.5(0.7)$, $A'_0 = -368(2)$.

$(B^2\Pi \leftarrow X^2\Pi)$

laserexcit. cij, j

ll-n., di,

Fraunhofer-NOCM.



c.A.1987, 106, N2

CLCN · DM 24-1951 1986

Карасук ОТ., Зюдина
факт

Г. С.

Енисей. и
Запад.
указах.

Координаты. ххххххх,
1986, 12, №8, 1011
— 1037

ClCN⁺

1986

18 Б1209. Спектр системы $B^2\Pi - X^2\Pi$ ClCN⁺ с низкой вращательной температурой. Rotationally cold spectrum of the $B^2\Pi - X^2\Pi$ system of ClCN⁺. Griezman F. J., McIlroy A., Perkins J. «J. Chem. Phys.», 1986, 84, № 5, 2481—2488 (англ.). Место хранения ГПНТБ СССР

Измерена колебат. структура электронного спектра испускания катионов ClCN⁺ (переход $B^2\Pi - X^2\Pi$, обл. ~420—530 нм). Спектры возбуждали электронным ударом молекул ClCN, охлажденных в сверхзвуковой струе. Наиболее интенсивные полосы в спектре представляли собой прогрессии по v_3'' и v_3''' подсистемам $^2\Pi_{1/2} - ^2\Pi_{1/2}$ и $^2\Pi_{3/2} - ^2\Pi_{3/2}$ (положение полос 0_0^0 соотв. 22 220 и 22 307 см⁻¹). Значения частот колебаний $v_3(\text{C}-\text{Cl})$, $v_1(\text{C}\equiv\text{N})$ и величина спин-орбитального взаимодействия A ClCN⁺ (в см⁻¹): состояние $B^2\Pi$ — 526, 1355, —362; состояние $X^2\Pi$ — 823, 1915, —275. В полосе 3_2^0 удалось частично разрешить вращат. структуры, оценить величину $B'' - B' = 0,025$ см⁻¹, $T_{\text{вр.}} \approx 75$ К.

В. М. Ковба

(ll. n.)
X·1986, 19, N 18

CICN⁺

1986

№ 11 Л231. Спектр $B^2\Pi - X^2\Pi$ вращательно-охлажденных ионов CICN⁺. Rotationally cold spectrum of the $B^2\Pi - X^2\Pi$ system of CICN⁺. Grieman Fred J., McIlroy Andrew, Perkins Jonathan. «J. Chem. Phys.», 1986, 84, № 5, 2481—2488 (англ.) Место хранения ГПНТБ СССР

(д.н.)

Методом электронного удара в сверхзвуковой струе получены спектры излучения $\tilde{B}^2\Pi - \tilde{X}^2\Pi$ вращательно-охлажденных ионов CICN⁺. Определены частоты валентного колебания Cl—C для основного и возбужденного электронных состояний (823 и 526 см^{-1} соответственно) и колебания C≡N для основного состояния (1915 см^{-1}). Также определена разность между константами спин-орбитального взаимодействия в состояниях $\tilde{B}^2\Pi$ и $\tilde{X}^2\Pi$, равная 87 см^{-1} . Полученные результаты проанализированы с привлечением аналогичных данных для изоэлектронных молекул ClC₂H⁺ и SCN.

М. А.

95 1986, 18, N 11.

αCN^+

Oct 23 74

1986

104: 138644k Rotationally cold spectrum of the $B^2\Pi-X^2\Pi$ system of cyanogen chloride ion(1+) ($CICN^+$). Grieman, Fred J.; McIlroy, Andrew; Perkins, Jonathan (Chem. Dep., Pomona Coll., Claremont, CA 91711 USA). *J. Chem. Phys.*, 1986, 84(5), 2481-9 (Eng). The rotationally cold spectrum of the $B^2\Pi-X^2\Pi$ system of $CICN^+$ was obtained by the crossed free jet-electron beam method. The narrowing of vibrational bands has allowed the assignment of many of the major features in the spectrum. The (Cl-C) stretching vibrational frequencies are 823 and 526 cm^{-1} for the ground and excited electronic states, resp., and the (C:N) stretching vibrational frequency for the ground electronic state is 1915 cm^{-1} . The difference in spin-orbit coupling consts. for these 2 electronic states is 87 cm^{-1} . The difference in vibrational frequencies and the difference in spin-orbit coupling consts. for these electronic states, in comparison with similar values for the isoelectronic mols. ClC_2H and SCN , allow a fairly complete picture of the π bonding in these mols. to be formed.

(Di)

C.A.1986, 104, n16

CCCN

(OM d3526)

1986

CCNH

Marriott S., Topsom R. D.,

Ap, meop.
pacrem.

J. Mol. Struct. Theochem,
1986, 137, N1-2, 133-
-141.

CLCN

1987

Andrews D. A.,
Baker J. G.

Стекло, J. Phys. B: At. Mol.

Мб-Мб
резонанс.

Phys. 1987, 20(21),

5705-22.

(см. ОС; III)

ClCN^+

Om. 29777

1987

10 Л389. Вращательный анализ лазерного спектра возбуждения $\tilde{B}^2\Pi_{3/2} \leftarrow \tilde{X}^2\Pi_{3/2}$ катиона хлорцианида. Rotational analysis of the $\tilde{B}^2\Pi_{3/2} \leftarrow \tilde{X}^2\Pi_{3/2}$ laser excitation spectrum of chlorocyanide cation. Celii F. G., Rösslein M., Napratty M. A., Maier J. P. «Mol. Phys.», 1987, 62, № 6, 1435—1447 (англ.)

С высоким разрешением получен спектр возбуждения флуоресценции $\text{ClCN}^+ (B^2\Pi_{3/2} - X^2\Pi_{1/2}) \quad 1_0^v \quad (v=0-2)$. Выполнен его вращательный анализ. Определены вращательные постоянные для уровня $v''=0$ основного состояния двух изотопич. молекул, $^{35}\text{ClCN}^+$ и $^{37}\text{ClCN}^+$, а также для ряда колебательных уровней возбужденного состояния \tilde{B} . Во многих полосах обнаружены и проанализированы вращательные возмущения. Библ. 31.

В. С. Иванов

III. 1.

φ 1988, 18, N 10

ClCN⁺

0029777

1987

№ 19 Б1273. Вращательный анализ системы $B^2\Pi_{3/2} \leftarrow X^2\Pi_{3/2}$ в спектре лазерного возбуждения катиона хлорцианида. Rotational analysis of the $B^2\Pi_{3/2} \leftarrow X^2\Pi_{3/2}$ laser excitation spectrum of chlorocyanide cation. Сели F. G., Rösslein M., Hanratty M. A., Maier J. P. «Mol. Phys.», 1987, 62, № 6, 1435—1447 (англ.)

С высоким разрешением измерена и проанализирована вращат. структура полос 0_0^0 , 1_0^1 и 1_0^2 (вал. кол. C—Cl) перехода $B^2\Pi_{3/2} \leftarrow X^2\Pi_{3/2}$ в спектре лазерного возбуждения катионов $^{35}\text{ClCN}^+$ и $^{37}\text{ClCN}^+$. Ионы получались при пенинговской ионизации нейтральных молекул метастабильными атомами гелия. Начала полос (в см⁻¹): $^{35}\text{ClCN}^+ — 22515,540$ (0_0^0), $23047,435$ (1_0^1), $23572,730$ (1_0^2); $^{37}\text{ClCN}^+ — 23043,077$ (1_0^1), $23566,198$ (1_0^2). Значения эфф. вращат. постоянных B_v (в см⁻¹): $^{35}\text{ClCN}^+ — B_0'' = 0,20443$, $B_0' = 0,17660$, $B_1' = 0,17523$; $^{37}\text{ClCN}^+ — B_0'' = 0,20041$, $B_2' = 0,17147$. Во вращат. структуре полос отмечены многочисленные возмущения, анализ к-рых не проводился.

В. М. Ковба

X. 1988, 19, N 19

ClCN^+

OM. 29777

1987

108: 140063w Rotational analysis of the $B^2\Pi_{3/2} \leftarrow X^2\Pi_{3/2}$ laser excitation spectrum of chlorocyanide cation. Celii, F. G.; Roesslein, M.; Henratty, M. A.; Maier, J. P. (Inst. Phys. Chem., Univ. Basel, CH-4056 Basel, Switzerland). *Mol. Phys.*, 1987, 62(6), 1435-47 (Eng). High-resolution laser excitation spectra of the $B^2\Pi_{3/2} \leftarrow X^2\Pi_{3/2}$ 1^o ($v = 0-2$) bands of ClCN^+ were recorded and rotationally analyzed. The rotational constn. for both ³⁵ClCN⁺ and ³⁷ClCN⁺ in the $v'' = 0$ level of the ground electronic state and some levels in the excited B state were detd. Rotational perturbations were obsd. in many of these bands.

laserboss.
Chetkoff,
M.N.

C.A. 1988, 108, N16

ClCN^+

Om 26578

1987

19 Б1238. Некоторые подходы к спектроскопическим исследованиям многоатомных катионов. Some approaches to spectroscopic characterization of polyatomic cations. Maier John P. «J. Chem. Soc. Faraday Trans.», 1987, Pt 2, 83, № 1, 49—59 (англ.)

Краткий обзор результатов исследований колебательно-вращающей структуры электронных спектров многоатомных молекулярных ионов. Рассмотрены основы методов возбуждения флуоресценции электронным ударом и лазерным излучением, в т. ч. в сверхзвуковой молек. струе и в матричной изоляции. Обсуждаются результаты анализа колебательно-вращающей структуры электронных спектров ионов триацетилена, XCN^+ ($\text{X} = \text{Cl, Br, J}$), $\text{CH}_3-\text{C}\equiv\text{C}-\text{X}^+$, $\text{X}-\text{C}\equiv\text{C}-\text{H}^+$ и ряда др. ионов. Библ. 57.

Е. В. Алиева

колбат.
Грациат.
Структура
Электрон. спектры

(обзор)
Х. 1987, 19, N 19

+2



Br CN^+ , JCN^+

CINC

от 29.2.24

1988

→ 9 Д123. Неэмпирическое исследование связи N—Cl.
An ab initio study of the N—Cl bond. Destro Riccardo, Merati Felicita, Ortoleva Emanuele. «Chem. Phys. Lett.», 1988, 145, № 3, 193—199 (англ.)

Неэмпирическим методом ССП МО ЛКАО в базисах OCT-3ГФ, 3-21ГФ и 6-31ГФ* исследовано электронное строение молекул со связью N—Cl: CINC, CINO, CINO₂, CINCO, CINNN, Cl₃N, Cl₂NH, CINH₂, CINCH₂ и CINCH(NH₂). Приведены равновесная геометрия, распределения электронной плотности. Обнаружена линейная корреляция заряда суммарной атомной заселенности атома Cl с длиной связи N—Cl. Рассчитанные энергии гидрирования RNCI+H₂→RNH+HCl обнаруживают корреляцию с величиной угла R—N—Cl и суммарной атомной заселенностью атома Cl. Наилучшие результаты получены в базисе 6-31ГФ* но базис 3-21ГФ также является приемлемым. Отмечено, что связь N—Cl стабилизируется при наличии донорных групп у атома N.

В. Л. Лебедев

М.Н.

(+) 5

18

сф. 1988, 18, №

CNC

01129204

1988

20 Б1031. Неэмпирическое исследование связи N—Cl.
An ab initio study of the N—Cl bond. Destro R., Mे-
рати F., Ortoleva E. «Chem. Phys. Lett.», 1988, 145,
№ 3, 193—199 (англ.)

Ограниченнym методом Хартри — Фока в базисах OCT-3 ГФ, 3—21 ГФ и 6—31* ГФ выполнена оптими-
зация геометрии 10 молекул, включающих группу
N—Cl: CINC, CINO, CINO₂, CINCO, CINNN, Cl₃N,
Cl₂NH, CINH₂, CINCH₂ и CINCH(NH₂). Оценены энер-
гии р-ции гидрирования $R-N-Cl + H_2 \rightarrow R-N-H + HCl$
и найдена их корреляция с валентным углом R—N—Cl
и заселенностью по Малликену атомов Cl. Наилучшие
результаты получены в базисе 6—31* ГФ. Для рас-
смотриения молекул прочность связи N—Cl, увеличи-
вающаяся при увеличении длины этой связи, растет по
мере уменьшения валентного угла R—N—Cl. Для са-
мых коротких связей N—Cl не обнаружено сколько-
нибудь заметного двоесвязного характера. Расчеты в
базисе OCT-3 ГФ приводят к результатам, плохо согла-
сующимся с получаемыми в др. базисах и с эксперим.
данными.

Ю. Н. Панченко

М.Н.

X. 1988, 19, № 20

CINC

Oct. 29 224

1988

109: 99133z An ab initio study of the nitrogen-chlorine bond.
Destro, Riccardo; Merati, Felicita; Ortoleva, Emanuele (Dip. Chim. Fis. Elettrochim., 20133 Milan, Italy). *Chem. Phys. Lett.* 1988, 145(3), 193-9 (Eng). Closed-shell SCF MO calcns. and geometry optimization were performed with the STO-3G, 3-21G and 6-31G* basis sets for ten mols. contg. the -N-Cl group: CINC, CINO, CINO₂, CINCO, CINNN, Cl₃N, Cl₂NH, CINH₂, CINCH₂ and CINCH(NH₂). The hydrogenation energies were evaluated and qual. correlated with the R-N-Cl bond angle and the Cl gross at. population. For the mols. considered here, the N-Cl bond is rather weak and its stability-larger for longer than for shorter N-Cl distances-increases as the R-N-Cl angle narrows. There appears to be no significant double-bond character for the shortest N-Cl bonds.

(mop-
racem)

⑨



C. A. 1988, 109, N 12.

CCCN+

1988

Maier J. P.

Phil. Trans. Roy. Soc.

v. A, London, 1988, A324,
N 1578, 209-221.

(eepl. HCP⁺; II)

CCCN

1988

Martin Peter S.,
Yates Keith et al.

g. mol. Struct. Theochem.

M. N.

1988, 181, N 3/4, C. 267 -

- 283.

(ccw. FCN; III)

^{37}Cl ^{12}C ^{14}N

1988

^{35}Cl ^{13}C ^{14}N

Watson James R. G.

et. al.

J. allol. Spectrosc. 1988.

132, N.Z. C. 477-482,

(Cu^{+2} , CO_2 ; $\underline{\text{III}}$)

ССН

1989

8 Б4549. Фотодиссоциация CICN излучением с длинами волн между 190 и 213 нм. Photodissociation of CICN between 190 and 213 nm / Barts S. A., Halpern J. B. // J. Phys. Chem.— 1989.— 93, № 21.— С. 7346—7351.— Англ. Место хранения ГПНТБ СССР

Методом лазеро-индуцированной Фл измерены вращат. распределения свободных радикалов CN, получающихся при фотодиссоциации (ФД) CICN при давл. ~0,2 Торр под действием импульсов излучения лазера на красителе с удвоением частоты, перестраиваемого по длинам волн в диапазоне от 190 до 213 нм. При длинах волн короче 206 нм измеренные распределения могут быть вычислены на основе приложения принципа вращат. отражения к вычисленной неэмпирич. методом потенциальной Пв процесса ФД. Выше указанного предела ФД происходит из второго электронно-возбужденного состояния CICN с потенциальной Пв, расположенной приблизительно параллельно Пв первого возбужденного состояния. Библ. 30. В. Е. Скурат

Фотодиссоциация
CICN

X.1990, N8

CCN+

1989

— 9 Б1244. Геометрическая структура катиона хлорцианида. Geometric structure of chlorocyanide cation / Rösslein M., Maier J. P. // J. Phys. Chem.— 1989.— 93, № 21.— С. 7342—7346.— Англ. Место хранения ГПНТБ СССР

Методом возбужденной лазерным излучением Фл с использованием эксимерного лазера с шириной полосы $0,04 \text{ см}^{-1}$ измерена в обл. частот $22\,460—22\,520 \text{ см}^{-1}$ вращат. структура электронного перехода $\tilde{B}^2\Pi_{3/2} \leftarrow \tilde{X}^2\Pi_{3/2}$ 0_0^0 четырех изотопич. образцов катиона хлорцианида, $^{35}\text{Cl}^{13}\text{CN}^+$ (I), $^{37}\text{Cl}^{13}\text{CN}^+$ (II), $^{35}\text{ClC}^{15}\text{N}^+$ (III) и $^{37}\text{ClC}^{15}\text{N}^+$ (IV). Образцы катиона генерировались в разряде Пеннига в присутствии метастабильного гелия. Из анализа вращат. структуры определены для I, II, III и IV, соотв., центры полос $v_0 = 22516,273(4)$, $22518,404(3)$, $22514,104(3)$ и $22516,120(3) \text{ см}^{-1}$, вращат. постоянные в возбужденном $\tilde{B}^2\Pi$ электронном со-

ll·1.

X. 1990, № 9

стоянии $B_0' = 0,174990(56)$, $0,171281(44)$, $0,169441(40)$ и $0,165973(54)$ см^{-1} и в основном $\tilde{\chi}^2\Pi$ электронном состоянии $B_0'' = 0,203729(54)$, $0,199592(45)$, $0,196876(42)$ и $0,192851(56)$ см^{-1} . С учетом данных для $^{35}\text{ClCN}^+$ и $^{37}\text{ClCN}^+$ определена замещенная структура катиона в $\tilde{\chi}^2\Pi$ состоянии $r(\text{C}-\text{Cl}) = 1,559(12)\text{\AA}$, $r(\text{C}-\text{N}) = 1,215(12)\text{\AA}$, $r(\text{Cl}-\text{N}) = 2,774(12)\text{\AA}$. С. Н. Мурзин

CCN

1989

113: 46581v MCSCF study on the potential surfaces of excited states in chlorine cyanide (ClCN) photodissociation. Zheng, Shijun; Yabushita, S.; Morokuma, K. (Hebei Teach. Coll., Peop. Rep. China). *Huaxue Wuli Xuebao* 1989, 2(5), 359-66 (Ch).

pacien no
meses. kpu
fix locked
¹HII₍₁₎-¹A''₍₀₎.

By means of MCSCF(MC9/12) method, with the polarization basis set of double zeta (DZP), the potential curves and surfaces of ground state and excited states of linear mol. ClCN and those of the excited states ¹A', ¹A'' of bent mol. were calcd. The lowest singlet excited state does not cross other upper ones in photodissocn. The most possible channel in ClCN photodissocn. is through the excited state

from a bent way.
coincidence

C.A. 1990, 113, n6

CCN [Om. 35352] 1991.

Felps W.S., Reppnik K.,
et al.,

Hempoh.

Cooking

Torlano.

Aleman, J. Phys. Chem., 1991,

Reppnik, 95, 639 - 656

Koham. ragoz

Electronic Spectroscopy of the

Cyanogen Halides.